

МИНИСТЕРСТВО ГЕОЛОГИИ СССР
МИНИСТЕРСТВО ГЕОЛОГИИ РСФСР
ДАЛЬНЕВОСТОЧНОЕ ТЕРРИТОРИАЛЬНОЕ ГЕОЛОГИЧЕСКОЕ УПРАВЛЕНИЕ

Уч. № 0111

ГЕОЛОГИЧЕСКАЯ
КАРТА СССР

МАСШТАБА 1:200 000

СЕРИЯ НИЖНЕАМУРСКАЯ

Лист № -53-ХХХVI

Объяснительная записка

Составитель А.И.Качко
Редактор В.И.Сухов

Утверждено Научно-редакционным советом ВСЕГЕИ
28 сентября 1967 г. протокол № 28

11234

СЛ3253
МОСКВА 1974

ВВЕДЕНИЕ

Территория листа N-53-ХХХI расположена в бассейне среднего течения р.Амур между реками Дильтин и Ник.Балда, частью в Междуречье Амур - Амур (бассейны рек Эвур и Бичи), и отграничена координатами 52°00' - 52°40' с.ш. и 137°00' - 138°00' в.д. По административному делению она относится к Комсомольскому, Ульческому и И.Полини Осиленко районам Хабаровского края.

Наиболее крупным орографическими единицами являются Омельянские и Горбачевские горы и Балдинские голыги, которые образуют единую горную группу северо-восточного направления с абсолютными отметками от 550 до 1567 м (наибольшая точка района), с относительными превышениями от 500 до 1300 м. Центральные части этих гор обладают склонами, острыми или пологовыми вершинами. В юго-восточной части района находятся горные массивы Гобочихин и Дуга с максимальными абсолютными отметками соответственно 1143 и 932 м. Массив Дуга и горы в Междуречье Горелая Бичи представляют собой юго-западное окончание хр.Чаяты. В северо-западную часть района заходит Омальский хребет. Наивысшей точкой здесь является г.Гобочихин (781 м над уровнем моря).

Горные массивы Гобочихин, Дуга и Омальский хребет отличаются от Омельянских и Горбачевских гор меньшей расщепленностью и небольшим количеством голыгов.

Пространства, расположенные между указанными выше горными сооружениями, заняты низкогорьем, для которого характерны залесенные пологие склоны и плоские вершины гор с абсолютными отметками 300-550 м. В долинах рек Амур, Эвур, и Бичи рельеф равнинный. Наименьшая абсолютная отметка приурочена к долине Амтуни и равна 44,1 м.

Наиболее крупными реками района являются Амгунь и ее притоки — реки Димитров, Омельдин, Гакцинка, Верх. и Ниж. Горбильяк, Верх. и Ниж. Балла, Им., а также р. Эзур, впадающая в оз. Эзорой, и левый приток Амгуна — р. Бичи с притоком р. Амгунь. Река Амгунь на протяжении 70 км протекает в северо-западной части района. Длина притоков Амгуна колеблется от 13—15 км до 30 км, причем левые притоки значительно короче правых. Реки Эзур, Им. и Бичи в пределах района текут на протяжении соответственно 5 $\frac{1}{4}$, 30 и 10 км. В своих верховых реки имеют типично горный характер со стремительным течением (скорость до 3—4 м/сек), каменистым или загромождением валунами руслом. В пределах изложенных скорости течения рек района 1,7—2,0 м/сек, глубина — 0,5—2,0 м, ширина русла — 2—20 м. Крупные реки образуют широкие (до 4—6 км) заболоченные долины, где скорость течения замедляется до 0,3 м/сек, а русла рек меандрируют (Эзур и др.).

Климат характеризуется коротким теплым летом и суровой про-должительной зимой, что позволяет вести полевые исследования в районе с июня до октября. По данным метеостанции Бичи и Гуга за 1958—1964 гг., среднегодовая температура воздуха от -2,7 до -3,9° при минимуме в январе -47° и максимуме в июле +36°. Годовое количество осадков колеблется от 400 до 710 мм, максимум которых (до 85%) приходится на летний период (июль, август). Отрицательная среднегодовая температура воздуха способствует образованию островной многолетней мерзлоты.

Обжигаемость рассматриваемой территории слабая. Наибольшее количество обнажений встречается в центральных частях горных хребтов, по берегам р. Амгуна и ее левобережье. Разрезы здешних образований можно наблюдать по берегам рек Амгуна, Димитров, Коколин, Мал.Хучки и Амгунь, разрезы зеркальных вулканитов — по берегам и водоразделам верхнего течения правых притоков р. Амгуны.

Растительность описываемой территории относится к зоне горной тайги. Главные лесообразующие породы — лиственница, ель, пихта, мензис встречаются береска, осина, редко ясень, тополь, клен, рябина. Подлесок составляет ольха, карликовая береска, рододендрон, шиповник, жимолость, голубика. В поймах рек растут каш, краснотал, ольха, таволга, черемуха, боярышник. Для заболоченных участков и болот характерны болотный, зеленый мох, осока и злаковые травы. В горах на абсолютной высоте 400—500 м появляется хвойный стланник.

Наиболее крупными реками района являются Амгунь и ее притоки — реки Димитров, Омельдин, Гакцинка, Верх. и Ниж. Горбильяк, Верх. и Ниж. Балла, Им., а также р. Эзур, впадающая в оз. Эзорой, и левый приток Амгуна — р. Бичи с притоком р. Амгунь. Река Амгунь на протяжении 70 км протекает в северо-западной части района. Длина притоков Амгуна колеблется от 13—15 км до 30 км, причем левые притоки значительно короче правых. Реки Эзур, Им. и Бичи в пределах района текут на протяжении соответственно 5 $\frac{1}{4}$, 30 и 10 км. В своих верховых реки имеют типично горный характер со стремительным течением (скорость до 3—4 м/сек), каменистым или загромождением валунами руслом. В пределах изложенных скорости течения рек района 1,7—2,0 м/сек, глубина — 0,5—2,0 м, ширина русла — 2—20 м. Крупные реки образуют широкие (до 4—6 км) заболоченные долины, где скорость течения замедляется до 0,3 м/сек, а русла рек меандрируют (Эзур и др.).

Климат характеризуется коротким теплым летом и суровой про-должительной зимой, что позволяет вести полевые исследования в районе с июня до октября. По данным метеостанции Бичи и Гуга за 1958—1964 гг., среднегодовая температура воздуха от -2,7 до -3,9° при минимуме в январе -47° и максимуме в июле +36°. Годовое количество осадков колеблется от 400 до 710 мм, максимум которых (до 85%) приходится на летний период (июль, август). Отрицательная среднегодовая температура воздуха способствует образованию островной многолетней мерзлоты.

Обжигаемость рассматриваемой территории слабая. Наибольшее количество обнажений встречается в центральных частях горных хребтов, по берегам р. Амгуна и ее левобережье. Разрезы здешних образований можно наблюдать по берегам рек Амгуна, Димитров, Коколин, Мал.Хучки и Амгунь, разрезы зеркальных вулканитов — по берегам и водоразделам верхнего течения правых притоков р. Амгуны.

Растительность описываемой территории относится к зоне горной тайги. Главные лесообразующие породы — лиственница, ель, пихта, мензис встречаются береска, осина, редко ясень, тополь, клен, рябина. Подлесок составляет ольха, карликовая береска, рододендрон, шиповник, жимолость, голубика. В поймах рек растут каш, краснотал, ольха, таволга, черемуха, боярышник. Для заболоченных участков и болот характерны болотный, зеленый мох, осока и злаковые травы. В горах на абсолютной высоте 400—500 м появляется хвойный стланник.

На территории листа расположены два контрольных пункта съемки — Зазаево и Горный (последний находится на Амгуни, в 1,2 км выше устья р. Амгускан). В них живут три семьи, которые обслуживаются телефонной линией, идущей вдоль р. Амгуни от пос. им. Полины Осипенко до г. Николаевска-на-Амуре. Дорог в районе нет. Хорошая тропа проходит вдоль телефонной линии. Передвижение внутри района возможно только на лошадях и волни путем по Амгуни. Последняя доступна судам вплоть до малотоннажных теплоходов, а в большую воду — и крупным грузовым теплоходам.

Геологическое изучение бассейна среднего течения р. Амгуни началось в прошлом веке в связи с интересом золотопромышленников к этому району. Маршрутные исследования по р. Амгуни проводили Н.Боголюбский (1876), Л.Балезич (1894), указание на разработку в районе Ерских отложений. Прослежившие позднее по Амгуни в 1902 г. А.И.Хлопонин (1908) и в 1915 г. П.А.Казанский (1915) подтвердили вышеупомянутую точку зрения.

Геологическую съемку масштаба 1:200 000 в северной части площади листа провел Н.П.Батурин (1937г). В пределах района на сопредельной с северо-востока площади им выделены верхнетриасовые и юрские песчаники, алевролиты и глинистые сланцы. Органическими остатками возраст пород не был обоснован.

В 1944 г. небольшой участок в юго-восточной части района засел в масштабе 1:200 000 Н.П.Саврасов (1945г), а северную половину территории листа покрыл геосъемкой масштаба 1:5000 000 А.А.Кирilloв (1947г). Оба исследователя видели условно верхне-палеозойские кремнистые сланцы и амгуинскую серию теригенных отложений кирко-ранненемелового возраста и, таким образом, подтвердили схему стратиграфии, предложенную Л.И.Красным и др. (1941г) для соседней с востока территории.

В 1953—1953 гг. на рассматриваемой территории проводили аэрофотометрические съемки в масштабе от 1:25 000 до 1:1 000 000

Н.В.Иванов (1955Ф, 1956Ф), И.И.Вильям и В.Т.Кудряков (1956Ф),
Б.А.Толокно и А.Д.Колчина (1960Ф), И.И.Шапошка и др. (1960Ф),
А.Н.Бронштейн и др. (1964Ф). Этими работами установлены сложно
дифференцированные аномалии магнитного поля над площадями раз-
вития вулканитов верхнего мела и кайнозоя. Некоторые данные по
эффузивам кайнозоя и полезным ископаемым района получены при
наземной проверке двух магнитных аномалий (Толокно, Колчина,
1961Ф).

В 1956 г. в бассейне среднего и нижнего течения р.Амурь
были начаты геологические и тематические исследования геолога-
ми второго гидрогеологического управления. До 1963 г. терриген-
ные отложения, развитые на соседних территориях, считались упо-
мянутыми геологами Баландинским на основании их литотипическо-
го сходства с фаунистически окраинизованными породами Ни-
зового р.Амурь (Н.И.Файн, В.А.Штурма и др., 1960; В.Э.Хромо-
ва, Е.А.Калибеков и др.). В дальнейшем, в результате дополнительных геологических работ и подготовки к изданию листов гео-
логической карты СССР масштаба 1:200 000, исследователи верну-
лись к ранним представлениям о преимущественно юрском возрасте
терригенных отложений как на территории рассматриваемого листа
(Тогонян и др., 1967Ф; Канно и др., 1964Ф, 1965Ф, 1966Ф; Файн и
др., 1965Ф), так и на смежных площадях (Файн, Потапов и др.,
1964Ф; Буфф, Хромова, 1965Ф; Файн и др., 1965Ф; Порохов и др.,
1966Ф; Шуршалина и др., 1966Ф; Хромова и др., 1966Ф).

В 1961 г. Я.И.Файном и др. (1965Ф) на описанной выше террито-
рии впервые было установлено широкое распространение
киновари в современном залежим.

При составлении геологической карты и карты полезных иско-
паемых территории листа использованы в основном материалы гео-
логической съемки масштаба 1:200 000, проведенной Р.М.Токояном,
А.И.Канно и др. (1963Ф), а также материалы дендрокоронации аэро-
фотоснимков и интерпретации данных аэрогеофизических съемок.

При разработке схемы стратиграфии и математизма района учтены
результаты упомянутых выше работ 1956–1965 гг., исследование
Е.Б.Бельгесева (1958Ф, 1959); А.И.Савченко (1961), Н.Г.Осипова
(1964Ф); Н.К.Осиповой (1963Ф), проведенных на соседних с юга и
юго-востока территориях, а также результаты тематических иссле-
дований Л.С.Буффа и В.Э.Хромовой (1965Ф).

СТРАТИГРАФИЯ

П А Л Е О З О Й

КАМЕННОУГОЛЬНАЯ СИСТЕМА

Н И Ж Н И Й О Т А С Л

К р е с т о в а я с в и т а . Нижняя подсвита ($C_1^{f_1}$, f_1).

Нижнекрестовая подсвита развита в юго-западной части района на
небольшом участке в верховье р.Тонней. Подсвита имеет тектони-
ческие контакты с мезозойскими и неогеновыми образованиями и
пролегает к юго-западу на соседнюю площадь (Осипова, 1963Ф,
1966). На рассматриваемой площади представлена алевро-
литами, мелко- и среднезернистыми аркозовыми песчаниками с гли-
нисто-кремнистым, иногда карбонатизированным цементом, кремни-
стыми и глинистыми сланцами. Преобладают алевролиты. Кремнистые
и глинистые сланцы образуют маломощные прослои. Видимая мощ-
ность подсвиты достигает 250 м.

В пределах района органических остатков в описываемых по-
родах не обнаружено. Западнее, в нижнем течении р.Нилая (Осип-
ова, 1964Ф), в литотипически сходных с вышеописанными породах
собраны *Spirifer* sp., *Atrypis* sp., *Pentagonocrinus* ex gr. *al-*
tatus *Jelt.* (определены Г.Р.Шишковой), *Schuchertella?* sp. (ид-
ро), *Tylotyris?* sp., *Neospirifer* sp. (определены Е.А.Мозалев-
ской). Перечисленная fauna характеризует каменноугольный возраст
вмещающих ее отложений. Определения штанок из этих отложений,
сделанные О.Ф.Лазуткиной и Т.В.Романчук, подтверждают такой ви-
вод. На основании вышеуказанного возраста нижнекрестовой подсви-
ты принимается раннекаменноугольным/. В решении 2-го Дальне-
восточного стратиграфического совещания крестовая свита помене-
на в пределах вязейского и намюрского ярусов.

1/ На смежной с юга территории (лист №53-УГ) возраст крестовой
свиты датируется как D_2+3 , однако полученные новые данные
достаточно обосновывают изменение возраста свиты. – При.рел.
Л.С.Буффа и В.Э.Хромовой (1965Ф).

M E 3 0 3 0 M

ЮРСКАЯ СИСТЕМА

Н И Ж Н И Й О ТДЕЛ

Будюрская синта ($J_1 \beta d$) слагает небольшой участок в юго-западной части района на левобережье р. Тонней, прослеживаясь сюда с юга со сменой площади, где она имеет значительное развитие (Осипова, 1963, 1966). В районе синта предстаёт только её верхней частью мощностью около 200 м, сложенная тёмно-серыми мелкозернистыми полимиктовыми, реже кварцево-полевошпатовыми песчаниками, среди которых встречаются редкие прослои алевролитов мощностью до 3 м. Выше согласно залегает пачка алевролитов хурбинской свиты.

Ископаемых органических остатков в отложениях Сомка не обнаружено. Нижненерский возраст свиты обосновывается тем, что он на смежных площадях несогласно залегает на верхнетриасовых образований (Осипова, 1966) и выше, в том числе и на рассматриваемой территории, согласно перекрывается хурбинской свитой нижне-середненерского возраста.

Нижний — средний отдел

Ху́рбиская се́ти (J1-2 $\frac{1}{4}$,) распростране-
на в Междуречье Эвур - Харличикан - Харин - Лев.Бичи, на левом
берегах р.Бичи, в бассейнах рек Кокоби, Димитри и Гакынка.
Свиту слагают мелко- и среднезернистые кварц-полевошпатовые и
полимицетовые песчаники, алевролиты, содержащие прослой глинистых
тканей, кремнистых и кремнисто-глинистых сланцев, редкие линзы гра-
велитов, простой пепловых туфов и пластовые тела диабазов. Нес-
редко песчаники, алевролиты и глинистые сланцы образуют пачки
ритмичного переслаивания. Примерно половину объема свиты сос-
тавляют песчанники.

Граница между будирской и хурбинской свитами нечеткая. Она проводится по подошве первой, более или менее мощной пачки алевролитов, выше которой по разрезу количество алевролитов возрастает. Ввиду плохой обнаженности, непрерывного разреза свиты на всю ее мощность в районе не составлено. Судя по частным разрезам, нижняя часть свиты мощностью около 500 м в Междумурье Энуртской и на левобережье последнего сложена однообразными по сост-

тагу и структурно-текстурным особенностям темно-серыми мелко-
среднезернистыми пемзитовыми песчаниками и темно-серыми алев-
ритами. Последние нередко содержат линзовидные включения пес-
чистого материала. Количество прослоев и пачек колеблется от
0,1—0,2 м до 10 м для алевролитов и до 160 м для песчаников.
Редко встречаются прослои и линзы кремнистых и кремнисто-песчи-
стых сланцев.

Общая полнота охвата по разрезу 100 м .
В междуречье Амакс - Лез. Бичи (в 12 км к западу от г. Якута) в верхней части хурбянской свиты наблюдаются следующие городки (снизу вверх):

1. Песчаники мелко- и среднезернистые, с прослоями алевролитов мощностью 0,5-5 м 400 кг

изогнутых песчаников и алевролитов; мощность слоя изменяется от нескольких сантиметров до 1,5 м; в алевролитах части линзовидные включения песчанистого материала.

Общая мощность разреза 650 м.
На левобережье р. Кокшель, в 3-3,5 км к северу от высоты 527 м, с помощью горных выработок составлен следующий наиболее полный план залежи утибинской свиты (снизу вверх):

1^а. Песчаники бореи, мелкозернистые, засыпные, с редкими маломощными прослойками темно-серых алевролитов и пачками мощностью до 35 м темно-серых алевролитов с прослойками черных глинистых сланцев

2. Алевролиты темно-серые, плитчатые, с про-	
сиями черных тонких сланцев.	190 "
3. Песчаники серые, чешуеватые, массивные .	110 "
4. Алевролиты темно-серые, плитчатые	35 "
5. Песчаники серые, малоизернистые, массивные, с редкими прослойками алевролитов.	250 "

6. Песчаники темно-серые, мелкозернистые, с линзами и косыми прослойками алевролитов и глинистых сланцев 50 м

7. Алевролиты черные, сланцеватые, с прослойми глинистых сланцев 50 "

8. Песчаники темно-серые, мелкозернистые, с линзами и косыми прослойками алевролитов и глинистых сланцев 160 "

9. Алевролиты темно-серые, птичье 30 "

10. Песчаники темно-серые, мелкозернистые, с прослойками алевролитов и глинистых сланцев 20 "

Мощность свиты по приведенному разрезу 175 м.

Самые верхи свиты здесь, по-видимому, размыты.

В западной части района, в бассейне р.Амурь, разрез хурбинской свиты аналогичен вышеописанным, с тем отличием, что в бассейне среднего течения р.Димитин появляются пластовые тела диабазов и линзы гравелитов, а на правобережье р.Кокольни - прослои пепловых туфов мощностью до нескольких метров. Кроме того, здесь отложения хурбинской свиты в зонах рассланцевания метаморфизованы, с превращением глинистого или кремнисто-глинистого цемента пород в глинисто-серидит-кварцевый, серидит-кварцевый. При наиболее сильном метаморфизме весь материал песчаников и алевролитов заменяется альбит-серидит-кварцевым агрегатом. Сланцеватость выражена в параллельной ориентировке чешуйок слюды и узких зерен полевых шпатов.

Мощность хурбинской свиты составляет 1200-1400 м.

На территории листа ископаемых органических остатков в хурбинской свите не обнаружено^х. Возраст свиты обоснован на сосуществующих площадях (листы №-53-ХХII и №-53-У; Файн, Потапов и др., 1964); Осипова, 1966) находками в складных отложениях среднекорских иноцерамов и аммонитов, а в низовых Амурни (данные сотрудников 2-го ГГУ ХХ района, 1966 г.) - раннекорского Ревандолюситета. На основании этих данных возраст хурбинской свиты считается нижнесреднекорским.

СРЕДНИЙ ОТДЕЛ

Ульбинская свита (J_{2 u})⁶. На описываемой территории Ульбинская свита развита в бассейнах рек Бичи, Аланс, Котольни, Димитин, Большой и Мал.Хунки, Ниж.Балда и в примамутинской части района. Свита сложена алевролитами, аркозовыми, реже полимитовыми песчаниками, глинистыми, кремнисто-глинистыми сланцами и гравелитами. Резко преобладают алевролиты. Кремнистые породы и алевролиты, иногда вместе с песчаниками, образуют в верхах свиты горизонт мощностью от 15-20 м (бассейн р.Мал.Хунки) до 80-100 м (бассейн р.Аланс), в котором мощность слоев кремнистых пород достигает 50 м (р.Аланс). Высокие кремнистые породы встречаются в междууречье Эвур - Кокольни, где в них отмечаются остатки радиолярий плохой сохранности.

Нижняя граница Ульбинской свиты определяется по появлению в разрезе монотонной пачки алевролитов и глинистых сланцев, по исчезновению диабазов и туфов, относящихся к хурбинской свите. Однако эта граница не всегда четкая, так как уменьшение количества песчаников и увеличение количества алевролитов вверх по разрезу происходит постепенно. В восточной и юго-восточной части территории листа Ульбинскую свиту на отдельных участках венчает горизонт кремнистых пород.

Наиболее полный разрез Ульбинской свиты изучен по обнажениям правобережья нижнего течения р.Аланс. Строение свиты здесь следующее (снизу вверх):

1. Пачка переслаивающихся алевролитов темно-серых, частью косослоистых и черных глинистых сланцев 470 м
2. Песчаники серые, мелкозернистые, массивные 45 "
3. Глинистые сланцы с прослойями алевролитов 40 "
4. Песчаники серые, мелкозернистые, массивные 15 "
5. Песчаники серые, мелкозернистые, массивные 20 "
6. Алевролиты темно-серые, с прослойями глинистых сланцев 22 "

7. Пачка переслаивающихся темно-серых алевролитов и черных глинистых сланцев 135 "

8. Песчаники серые, мелкозернистые 15 "

9. Пачка переслаивающихся черных и темно-серых алевролитов, часто косослоистых и черных глинистых сланцев 120 "

Ю. Песчаники серые, мелковзернистые	12 м
II. Переслаивающиеся темно-серые и черные алевролиты и черные глинистые сланцы	100 м
13. Песчаники серые, мелковзернистые, массивные . .	190 м
Косыми прослойками, линзами и неправильными включениями алевролового материала и мелкими обломками алевролитов. Переходы между прослойками песчаников и алевролитами постепенные	
14. Алевролиты черные, со слойками мощностью 2-4 см косоупадающие через 0,1-0,8 см буровато-серых песчаников и черных алевролитов	30 м
15. Песчаники буровато-серые, мелковзернистые, с редкими прослойками темно-серых алевролитов мощностью 1,5-2,0 см	60 м
16. Алевролиты темно-серые, с редкими косыми прослойками темно-серых песчаников мощностью до 4 см	20 м
Суммарная мощность пород по призованному разрезу 1374 м.	
На повторяющемся котловине и руч. Гризиной, в 3-3,6 км к юго-востоку от высоты 527 м, в строении средней и верхней частей склона участия отмечаются породы (снизу вверх):	
I. Песчаники темно-серые, мелковзернистые с косыми прослойками и линзами алевролитов и глинистых сланцев	80 м
2. Песчаники серые, мелковзернистые, массивные . .	80 м
3. Алевролиты темно-серые, стягивающие, с прослойками глинистых сланцев	35 м
4. Песчаники серые, мелковзернистые, массивные . .	25 м
5. Алевролиты темно-серые, до черных, сплющенные, с прослойками глинистых сланцев и редкими пластами (мощностью до 20 м) песчаников серых, мелковзернистых . .	330 м
6. Песчаники серые, мелковзернистые, массивные . .	50 м
7. Алевролиты темно-серые, с прослойками глинистых сланцев	20 м
8. Песчаники серые, мелковзернистые, массивные . .	40 м
9. Алевролиты темно-серые, сплющенные, с прослойками глинистых сланцев	250 м
10. Песчаники серые, мелковзернистые, массивные . .	150 м
М. Глинистые сланцы	260 м
Суммарная мощность отложений 1320 м.	

Важно согласно залегают пачка песчаников силинском сорта. Аналогичный разрез средней и верхней частей свиты изучен в бассейне верхнего течение р. Мал. Кунд, в 5,7 км юго-восточнее Белой Горы.

Разрез верхней половины свиты изучен на правом берегу р. Амкуль, в 3-4 км ниже устья р. Ухы (у переката "Чертыги зубы"). Здесь наблюдается (снизу вверх):

- I. Песчаники темно-серые и серые, мелковзернистые, массивные, с массовыми, с редкими прослойками и местами пачками темно-серых кластиков, часто полосчатых алевролитов
2. Пачка переслаивающихся алевролитов темно-серых, сломанных и песчаников темно-серых, мелковзернистых
3. Пачка переслаивающихся песчаников темно-серых, мелковзернистых и алевролитов темно-серых
4. Алевролиты темно-серые, крупновзернистые, с прослойками алевролитов черных, мелковзернистых и реже песчаников мелковзернистых
5. Пачка алевролитов темно-серых, крупновзернистые, с темно-серым, мелковзернистым и алевролитом темно-серых, реже черных. Мощность отдельных слоев от 0,07 до 0,25 м, редко до 0,4-0,7 м. Отмечается редкоеложение (локи сантиметра) прослоем глинистых сланцев
6. Алевролиты темно-серые, с редкими прослойками песчаников и глинистых сланцев
7. Песчаники темно-серые, с редкими прослойками алевролитов
8. Пачка переслаивающихся алевролитов серых, сломанных, часто полосчатых и песчаников мелковзернистых
9. Чертящиеся пачки алевролитов (с прослойками глинистых сланцев и редко песчаников), пластов и маломощных (1-5 м) пачек песчаников мелковзернистых . .
10. Пачка переслаивающихся алевролитов темно-серых, неслоистых, изредка полосчатых, и песчаников темно-серых, мелковзернистых. В нижней части пласт пепельно-серых алевролитов с фуконами мощностью 0,4 м . .
- II. Алевролиты темно-серые, реже черные, с редкими прослойками глинистых сланцев и песчаников мелковзернистых
- 120 м

Общая мощность город по разрезу 660 м.

Вали согласно залегает силинкская свита.

На левобережье р.Амтунь, восточнее р.Гакчика, по каналам и редким обнажениям описана верхняя часть ульбинской свиты, которая имеет здесь следующее строение (снизу вверх):

1. Алевролиты черные, сланцеватые, с маломощными (1-2 м) прослойками песчаников серых, мелкозернистых и редкими прослойками черных глинистых сланцев

170 м

2. Песчаники серые, мелкозернистые, с редкими маломощными прослойками алевролитов черных, реже темно-серых

40 "

3. Алевролиты черные, сланцеватые, с редкими прослойками песчаников серых мелкозернистых

50 "

4. Песчаники серые, мелкозернистые, с прослойками темно-серых алевролитов мощностью 1-2 м

40 "

5. Алевролиты черные, с маломощными (до 1,2 м) прослойками серых мелкозернистых песчаников

60 "

6. Песчаники серые, мелкозернистые

50 "

7. Алевролиты черные, с маломощными прослойками серых мелкозернистых песчаников и черных глинистых сланцев

90 "

Суммарная мощность 500 м.

Выше согласно залегают песчаники силинкской свиты. Общая мощность ульбинской свиты на территории листа равна 1300-1450 м.

В приподлинной части р.Амтунь в зонах динамометаморфизма породы Ульбинской свиты подверглись рассланцеванию и изменению, выраженному в их серидитизации, окварцевании и частью албитизациии.

Следует отметить, что в южной части района в составе ульбинской свиты больше алевролитов и глинистых сланцев, чем в северной. Кроме того, на юго-восточной половине площади в южной части свиты развиты в значительном количестве кремнистые породы, исчезающие в направлении к северу и северо-западу.

Северо-западнее горы Дуга в алевролитах нижней части свиты найден остаток белемнита плохой сохранности, который, по мнению Е.П.Брудницкой, датирует возраст вмещающих отложений как юрско-меловой. На правом берегу р.Амтунь, в 5 км ниже контрольного пункта съезда Зазаево, в алевролитах собраны остатки семя и листья *Calcarolites cinctus* Nath. (определение М.М.Комман и И.Н.Сребродольской), распространенных от верхнего

третаса до нижнего мела. Здесь же и на правом берегу р.Амтунь, в 4,8 км ниже устья р.Учи, а на смежных площадях - по р.Амтунь, на ее левом (в 3,5 км ниже пос.Туга) и правом (в 2,5 км выше устья р.Ниж.Горбыляк) берегах М.А.Седовой, на мысе Миваки (Чукчигское озеро) Е.М.Воеволовой в отложениях ульбинской свиты установлены споры и пыльца среднерейского возраста (*Spiropteris*, *Osmundaceae*, *Ceratrlites*, пыльца тинковых, беннетитовых, сосновых (Буд, Хромова, 1965б; Канно и др., 1965б; Хромова и др., 1966б).

Учитывая эти данные, а также согласные взаимоотношения ульбинской свиты с подстилающими (хуроминская свита) и перекрывающими (силинская свита) отложениями, охарактеризованными соответственно среднерейской и верхнерейской фауной, возраст ульбинской свиты принимается среднерейским.

В е р х н и й о т д е л

С и л и н с к а я с в и т а (3,0-4,0) распространена в междуручьях Горелая - Бичи, Горелая - Ии, за правобережье р.Эвур, в бассейнах рек Янтарек, Ниж.Балда, Верхн.Горбыляк, Амусикан, Димитин и на левобережье р.Амтунь. Она представлена в основном песчаниками мелко- и среднезернистыми, кварц-полевошпатовыми, мелкими полимиктовыми. Алевролиты и глинистые сланцы имеют подчиненное значение. Очень редки линзы гравелистов. Песчаники, особенно полимиктовые, часто содержат мелкие обломки алевролитов, глинистых и кремнисто-глинистых сланцев.

Граница между силинской и согласно подстилающей ее ульбинской свитой в юго-восточной части площади листа проводится по краю горизонта кремнистых пород, а на оставшейся территории - по краю пачки алевролитов мощностью до 300 м, звенящей разрез ульбинской свиты.

Разрезы силинской свиты изучены в обнажениях по левому берегу р.Амтунь и на правобережье р.Эвур. Нижняя часть свиты представлена почти целиком песчаниками, средняя - песчаниками с редкими прослойками алевролитов и реже глинистых сланцев, верхняя - песчаниками и алевролитами, причем количество последних составляет треть этой части свиты.

Нижняя часть свиты на левом берегу притока р.Эвур, в 9 км к югу от г.Сетко имеет следующее строение (снизу вверх):

1. Песчаники кварц-полевошпатовые, серые, мелко-зернистые, массивные

80 м

2. Песчаники кварц-полевошпатовые и полигимкто-				
вые, темно-серые, мелкозернистые, массивные	50	и	25	м
3. Песчаники кварц-полевошпатовые, серые, мел-	150	и	II	"
коэзеристые, массивные				
4. Песчаники кварц-полевошпатовые и полигимкто-				
вые, темно-серые, мелкозернистые, с ясными прослои-				
ками и линзами алевролитов и глинистых сланцев.	410	и		
Общая мощность 670 м.				
Строение части нижней и средней части свита изучено в об-				
ражении левого берега р.Амтуя, выше контрольного пункта сви-				
ти Зазаево, где наблюдаются (снизу вверх):				
1. Песчаники серые, мелкозернистые, массивные,				
с редкими прослойками темно-серых перекристал-				
лизовидных алевролитов. В средней части пачки со-				
держатся остатки ископаемых лилий плохой сохранности				
из рода <i>Pentacrinus</i>	500	и	65	"
2. Песчаники серые, мелкозернистые, слабо рас-				
тланцованные, серидитизированные, с шелковистым блеском на плоскостях спонтанности, с прослойками темно-серых полосчатых алевролитов и прослойками чер-				
ных глинистых сланцев мощностью от 0,05 до 1,0-1,5 м	95	и	5	"
3. Песчаники серые, мелкозернистые, массивные,				
расглаживанные	15	и	23	"
4. Песчаники серые, мелкозернистые, массивные,				
с линзовидными прослойками алевролитов и черных глини-				
стых сланцев.	60	и	33	"
5. Песчаники серые, мелкозернистые, массивные,				
расглаживанные	47	и	6	"
Общая мощность пород по разрезу 717 м.				
На левом берегу р.Амтуя, в 5 км ниже устья р.Димитин, на-				
блодаются расглаживанные серидитизированные, окварцованные по-				
ролы верхней части силинской свиты, нижней здесь следующее				
строение (снизу вверх):				
1. Песчаники темно-серые, мелкозернистые, частично				
среднезернистые, сплошные и массивные	20	и	20	м
2. Алевролиты темно-серые, редко черные, сплошные				
(плитчатые), частично полосчатые, с редкими прослойками				
песчаника	56	и	17	"
3. Песчаники зеленовато-темно-серые, мелкозерни-				
стые, сплошные, с редкими тонкими (до 5 см) прослои-				
ками черных алевролитов.	35	и	II	"

келпей-оксфордского возраста (Бум, Хромова, 1965); Шурвалина и др., 1966).

На основании вышеизложенного, с учетом согласного залегания описываемой толщи на Ульбинской свите, возраст силинской свиты принимается позднеирским.

МЕЛОВАЯ СИСТЕМА

Нижний отдел

Холдоминская свита ($Cr_1 \frac{1}{2}$) развита на небольшом участке между правыми притоками р. Бачи в юго-восточной части района. Свита прослеживается на кг, на территории листа № 53-У1, где она широко распространена и детально описана Н. К. Осиповой (1963), 1966). Этим исследователем показано совместное перекрытие холдоминской свиты с угловым несогласием морских терригенных отложений ирии и валанчина. В районе свиты представлена своей нижней частью мощностью 60 м, сложенной кварцевыми порфирями. Ещё, за пределами района, в нижней части свиты имеются лавобрекции кварцевых порфиров, туфогенные конгломераты, дациты, фельзит-порфирь.

Органических остатков в свите не обнаружено. По аналогии с соседними районами (Осипова, 1963) возраст холдоминской свиты принимается раннемеловым.

Верхний отдел

Амутская свита ($Cr_2 a m$) занимает большие площади в бассейнах рек Эвур, Альис, И и правых притоков р. Амтунь. Общая площадь покрова равна около 1600 км². Свита сложена главным образом андезитами, андезито-дацитами, андезито-базальтами, их туфами, туфитами и лавобрекциями. Нижняя часть свиты мощностью около 150-200 м представлена в основном туфами андезитов и андезито-дацитов с повышенным количеством лав и лавобрекций, причем туфы развиты на западной окраине покрова, уменьшаясь в мощности к северо-востоку. В нижней половине свиты, главным образом в бассейнах рек Димитин, Омелидин, в виде линз и выклинивающихся пачек мощностью 50-80 м, редко больше, наблюдаются кварцевые порфирь, платигипситы, фельзиты, их туфы и туфоаллюмераты. Верхняя, более мощная часть свиты сложена андезитами,

андезито-дацитами и андезито-базальтами с неизвестным количеством туфов.

Свита залегает с угловым несогласием на юрских отложениях. Непосредственный контакт свиты с подстилающими породами наблюдался в 8,5 км выше горы Сетко. Здесь в основании свиты установлены седиментационные брекции мощностью до 80 м, представляющие обломочным материалом нижележащих осадочных пород силинской свиты. Последние обладают крутыми утлами падения, в отличие от уломанных брекций, залегающих на полуото.

Нижняя часть свиты изучена с поколода канав на правобережье р. Амтунь, в 4 км к север-северо-западу от г. Дуга. Здесь вскрыты (снизу вверх):

I. Туфы андезитов литокластические, псамитовые, зеленые, в верхней и нижней части зеленовато-серые, окисленные и хлоритизированные	5,3 м
2. Андезиты роговообманковые, серовато-бурые, окисленные, окварцированные, хлоритизированные	1,6 "
3. Туфы андезитов пелитовые, светло-серые или светло-коричневые, с мелким обуглившимся растительным детритом	2,0 "
4. Туфы андезитов кристаллитокластические, псамитовые, зеленовато-серые, хлоритизированные	6,0 "
5. Пачка переслаивающихся кристаллитокластических и зитрокристаллитокластических туфов андезитов темно-серых и зеленоватых со светло-серыми пелитовыми туфами с растительным детритом	4,0 "
6. Туфы андезитов пелитовые, светло-серые	2,0 "

7. Туфы андезитов кристаллитокластические, псамитовые, серые, коричневые и зеленоватые, в средней части с обуглившимся растительным детритом.

11,6 "

8. Андезиты роговообманковые.

0,5 "

9. Лавобрекции андезитов, светло-зеленые, окварцированные и серилитизированные, содержат редкие прослой туфов андезитов.

24,1 "

10. Пачка переслаивающихся литокластических туфов и лавобрекций андезитов.

3,0 "

11. Туфы андезитов литокластические, псамитовые, в основании полосчатые

4,5 "

12. Лавобрекции андезитов светло-зеленые

10,0 "

13. Туфы андезитов литокластические, псамитовые, в основании полосчатые

46,1 "

14. Андезиты роговообманковые, серые, зеленовато-серые	48,8 м
15. Андезиты пироксен-роговообманковые, черные, массивные.	2,5 "
Суммарная мощность пород по разрезу 172 м.	
В верховых р.Омельянин разрез нижней и средней частей лавовый. Здесь на сибирской свите застекают (снизу вверх):	
1. Андезито-дациты роговообманковые, серые и зеленовато-серые	около 150 "
2. Фельзит-порфиды светло-серые, пятнистые.	140 "
3. Андезито-дациты роговообманковые, серые.	25 "
4. Фельзит-порфиды светло-серые	50 "
5. Андезито-дациты пироксеновые	30-40 "
Общая мощность около 400 м.	
На правом берегу левого притока р.Лягда на отложениях сибирской свиты несогласно залегают (снизу вверх):	
1. Туфы андезитов зеленовато-серые, кристаллические, псамитовые	8 м
2. Андезиты роговообманковые, темно-серые, в нижних потоках с розоватым оттенком, в верхах - с синевой, со столбчатой отдельностью	60 "
3. Андезито-дациты серо-зеленые, афуровые.	25 "
4. Туфы андезито-дацитов глязно-зеленые, кристаллические.	20 "
5. Андезито-дациты серо-зеленые, афуровые.	20 "
Общая мощность 133 м.	
Верхняя часть амурской свиты на левобережье р.Энур, в 20км ниже устья р.Мал.Энур, имеет следующее строение (снизу вверх):	
1. Андезиты роговообманковые, серые, плитчатые, с линзовидными включениями светло-желтого хлорита.	4 м
2. Давобрекии андезитов розовато-серые, плитчатые.	10-15 "
3. Андезиты биотит-роговообманковые, хлоритизированные, темно-серые, плитчатые, с обильными вкрапленниками плагиоклаза.	50 "
4. Андезиты амфиболовые, темно-серые, плитчатые, с вкрапленниками плагиоклазов.	30 "
5. Андезиты биотит-роговообманковые, темно-серые, с мелкими фенокристами плагиоклазов.	20 "
6. Андезиты роговообманково-амфиболовые, темно-серые.	
Рых.	

Общая мощность 170 кВт

Близкое строение имеет верхняя часть свиты на водоразделе Ниж. и Верх. Городняка, в 1 км к северо-западу от высоты 925 м.

I. Андезиты афировые, темно-серые с зеленоватым

ТЫМ ОТТЕНОКОМ ОКОЛО 60 М

2. Андезиты пироксеновые, магнезиальные, зеленые: эпидот-хлоритовые; эпидот-тигелиновые; зеленые, залегающие в гнейсах.

Лебедев, находившийся в то время в Китае, описал в 1905 г. минерал, названный им китайским хлоритом . . .

3. Андезиты темно-серые, с крутыми (до 3-4 км)

зкрапленниками плагиоклаза и меньшими — пироксена. • 50 "

4. Альбизиты пироксеновые, магнезиальные (с
запасом углями) 20

Хайделом, кварцем, хлоритом), силикатами.
5. Альбиты темно-серые, с вкраплениями пла-

тиоклаза и пироксена около 65 %

Общая мощность пород по приведенному разрезу около 260 м.

Область Монголии Амурской Свирь в районе разни 300-600 м.

Ми (до 50% обмена продов.) патогеноза (№ 40-50), игровой обман

ки и даже пироксена (гиперстен или авгит) и биотита. В амазолите

дликах зернами являются плагиоклазы, роговая обманка,

биотит и редко кварц. Основная масса в андезитах гиалопилито-

БОДЛЯ-ДАСЛАДЖ — калмыцкая певица,ющая на хооме, и хоомист, а также пианистка.

дальная текстура. Аксессорные минералы представлены апатитом,

циром, магнетитом. Андезито-базальты обладают интересными

структурой основной массы, хранящими в них представления и чувства, а также психической патологией. В целом для нижней

амолдасы, целиком, рожденные из пленки и части света характерны роговообмаковые или пластикальные анти

зиты, а для верхней — пироксеновые и доломитовые с преоб-

ладанием первых. Амбезито-базальты обычны для средней и верхней

ЧАСТИ СВИНИ И В ОСНОВНОМ разрезаны на краине Северо-Востоке ради
так называемой «свино-мясной» или «пекарской» промышленности. Англия-Германия

тъ свойственна подхвѣтной части свиты и встречается в осевом чассъ

Очелльдинского хребта; ими, например, сложена гора Сетко.

Губы вздохов и андеграундов имеют пакистанскую, реже

пелитовую, злевритовую или псевдопелитовую структуру. Юльски в книге «Песчаники» описывает псевдопелитовую структуру.

представлены андезитами, андезито-дацитами, биотитомицескими гранитами.

лом, изредка пестринками и вкраплителями, реже кистями эффиузи-
ми и туфами, а также обломками кристаллов плагиоказов, реже
ротовой обнажки и авигита. Связующей массой является бурый пел-
ловый материал, хлоритизированный и окременный, или криптокри-
сталлический кварц.

Кварцевые порфирсы - светло-серые породы порфировой структу-
ры с вытробированной или микрофельзитовой структурой основной мас-
си. Вкрапленники (до 10% объема породы, размером до 2 мм) пред-
ставлены кварцем, кислым плагиоказом и изредка роговой обман-
кой. Фельзиты состоят из микропойкилитовой основной массы, в ко-
торую вкраплены единичные оплавленные зерна кварца. Плагиопорфи-
ры - светло-серые породы с порфирной структурой. Основная мас-
са - микропойкилитовая, реже микрофельзитовая. Вкрапленники
представлены плагиоказом, редко цветными минералами, заменен-
ными хлоритом.

Амутская свита образует дифференцированное аэромагнитное
аномалийное поле с амплитудой напряженности в среднем от -700
до 1000 гаусс (см. рис. I, 2).

По химическому составу эффиузивы амутской свиты относятся к
породам нормального состава (табл. I). Андезито-дациты пересыще-
ны кремнеземом и белыми цепочками, андезиты - слабо пересыщены
кремнеземом и белыми цепочками, андезито-базальты - насыщены крем-
неземом, очень белыми цепочками и являются лейко-меланхратовыми
породами. В целом же рассматриваемые породы соответствуют сред-
ним типам аналогичных пород или их промежуточным разновидностям
по Дэли, отличающимся от них несколько повышенным содержанием щело-
чей и в некоторых случаях - железисто-магнезиальных силикатов.

На правобережье рек Дягда и Бол.Хунин, на южном отроге

г. Сетка и других местах в туфах и туфлитах амутской свиты встре-
чаются неопределенные обуглившиеся или окаменелые остатки хвой-
видных и превесных растений. На снежных плосках, в непосред-
ственной близости от границ рассматриваемой территории, амут-
ская свита надежно характеризована остатками ископаемой флоры
верхнего мела (Шуршалина и др., 1966; Клинто и др., 1965; Оси-
рова, 1963).

Данные определения абсолютного возраста эффиузивов также
указывают на их позднемеловой возраст: 88 млн. лет - андезит с
левобережья среднего течения р. Дягда, 73 млн. лет - андезит с
правого берега р. Амунь, в 1,5 км ниже устья р. Ниж. Балда (на
смежной территории), 89 млн. лет - фельзит с правобережья р. Дяг-
да. Вулканогенная толща прорывается и метаморфизуется гранитами

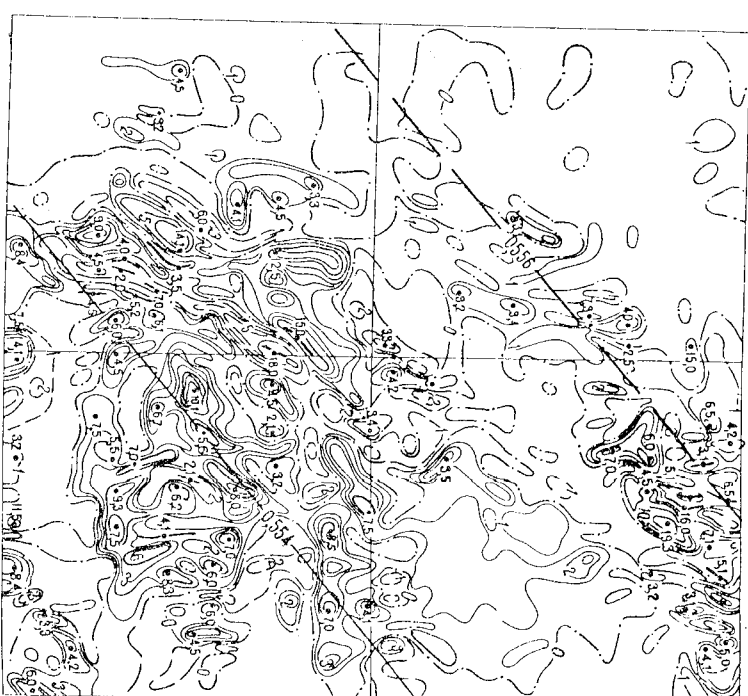


Рис. I. Карта аномального магнитного поля в изодлинах ΔT
Составлена сотрудниками геофизической экспедиции ДВГУ
Л.И. Золотаревой и А.Н. Ефремовой по материалам Г.М. Иванова
Значения изодилян ΔT в милльэрстедах: 1 - положительные,
2 - отрицательные, 3 - нулевые, 4 - экстремальные значения;
5 - линии нормального поля

Рис. 1



ХАРАКТЕРИСТИКА МАГНИТНОГО ПОЛЯ

Рис. 1

№/Н	S102	ХАРАКТЕРИСТИКА МАГНИТНОГО ПОЛЯ														
		P102	A103	P203	P60	И10	И20	И30	И40	И50	И60					
1	64,22	0,97	16,29	11,65	2,60	0,36	1,90	4,76	3,75	5,59	0,02	0,14	0,59	-	100,15	Суна
2	62,89	0,65	15,64	11,60	3,51	0,09	2,11	3,94	3,45	2,80	0,02	0,18	1,98	1,06	99,90	
3	60,46	0,71	15,53	4,16	3,18	0,13	3,85	5,74	3,27	2,93	-	0,15	0,65	-	100,61	
4	57,76	0,84	13,77	3,67	4,81	0,19	2,49	8,26	2,10	3,05	-	0,20	2,94	-	100,08	
5	49,34	1,14	14,17	4,53	4,89	0,15	5,26	10,63	2,40	0,85	0,01	0,20	2,53	2,52	99,42	

ЧИСЛЕННЫЕ ХАРАКТЕРИСТИКИ по А.Н. Засярикову

№/Н	s	c	b	a	f'		m'	c'	n	q	t	Q	s/c	Антор
					и	и								
1	13,5	4,2	8,9	73,4	45,4	36,1	18,5	61,6	18,9	0,7	15,6	3,2	Ильин и Любимов 1964г To же	
2	12,1	4,7	8,8	74,4	56,0	41,6	2,4	65,1	15,0	0,9	18,9	2,6		
3	11,4	4,5	15,4	63,7	42,5	42,1	15,4	63,1	22,8	0,9	16,1	2,5	Карло и Любимов 1964г To же	
4	9,3	4,8	17,9	63,0	45,3	24,2	30,5	51,5	18,0	1,0	12,5	1,9	To же	
5	7,0	5,4	26,9	59,7	32,8	41,0	26,2	79,6	14,3	1,7	-1,0	1,1	Карло и Любимов 1964г	

1 - содр. 2135, амплитудо-затух. горп Сетто, 2 - содр. 467M, амплитудо-затух. горп Сетто-Макарова;
3 - содр. 1033, амплитудо-затух. горп 15чанк, 4 - содр. 558, амплитудо-затух. горп 15чанк, 5 - содр. 4435, амплитудо-затух.



Рис. 2. Карта аномального магнитного поля в графиках А Тв
Составлена сотрудниками геофизической экспедиции ДГУ
Л.И.Золотаревой и М.Д.Красик по материалам Г.И.Иванова

Омельянского массива, абсолютный возраст которых равен 71-73 млн. лет!

КАЙНОЗОИ

ПАЛЕОГЕНОВАЯ СИСТЕМА

G 8

Кузнецкая свита (Р62^{н.}). Эффузивы основного состава — базальты, андезито-базальты и их туфы, обособленные в Кузнецкую свиту, распространены в бассейнах рек Алтыс, Лев. Бичи и Бичи и в истоках правых притоков р. Им. Эти эффузивы залегают с угловым несогласием на различных горизонтах как амурской свиты, так и юрских осадочных пород.

Кузнецкая свита имеет преимущественно лавовый состав. Она сложена чередующимися между собой потоками базальтов мощно-

толь от первых метров до 20-30 м. Менее значение имеют андезиты-базальты, еще реже встречаются туфы базальтов и андезито-базальтов. Туфы залегают в основании свиты и имеют мощность 20-30 м (правобережье рек Алтыс, Бичи).

1. разаильи оливково-авитовые, черные	100	M
2. Базальты оливковые, черные	40	"
3. Базальты авито-оливковые, темно-зеленые и		
чёрные	60	"
4. базальты авитовые, темно-серые	100	"

На правобережье р.Бычи свиту слагают (снизу вверх):

пепельного цвета, неясноплитчатые, с редкими обуглившимися растительными остатками	• • • • • • • • • • • • • • • • • •	20	м
2. Базальты оливковые, темно-серые	• • • • • • • •	80	и
3. Андезито-базальты черные, плитчатые	• • • • • •	20	и
4. Базальты черные, плитчатые, с редкими порами	• •	80	и
Общая мощность	200 м.		

Здесь и далее возраст определялся калий-аргоновым методом Г.К.Ковал'чук (ИВПУ).

Среди базальтов различаются разности авгитовые, оливин-типерстен-авгитовые, оливиновые и кварц-оли-вин-авгитовые. Породы порфировые, с пилотакситовой, реже интер-сертальной или микролелеритовой структурой основной массы. Вкрапленники (от 5 до 20% объема породы) представлены авгитом, гиперстеном, оливином, редко плагиоклазом и единичными зернами кварца. Туфы сложены обломками базальтов, бурого стекла, кристаллов плагиоклаза и кварца, погруженных в пепловый материал, часто хордитизированного и пропитанного гидроокислями железа. Ан-дезито-базальты по составу роговообманково-авгитовые, по структуре порфировые с интерестальной или гигиопилитовой структурой основной массы. Вкрапленники (15-20% объема породы) представлены базальтической роговой обманкой (преобладает), авгитом и плагиоклазом.

По химическому составу (табл.2) базальты соответствуют среднему типу базальта по Дэли, а андезито-базальты занимают промежуточное положение между средними типами андезитов и базальтов, отличаясь от последних несколько повышенным содержанием щелочей.

НЕОГЕНОВАЯ СИСТЕМА

Миоцен

мися растительными остатками	20	M
2. Базальты оливиновые, темно-серые	80	п
3. Андезито-базальты черные, глитчевые	20	п
4. Базальты черные, глитчевые, с редкими порами	80	п

К и з и н с к а я с в е т а (№₁ *к*). Эффузии кизинской свиты в виде полосы шириной 8–11 км прослеживаются вдоль рек Им и Энур до верховья р.Харлычикан и уходят далее на юг, за пределы района. Небольшие остатки покрова рассматриваемых эффузий имеются в местечке Амтунь – Верх.Горбылак. Свита сложена в основном базальтами, главным образом афировыми. Лишь иногда

Tabelle 2

РУССКИЙ СОСТАВ ЗАМЕРЗШЕГО КУЗНЕЦОВСКОМУ И КИРСКОМУ ГРД

N N/H	Comparative, %														
	SiO ₂	MgO	Al ₂ O ₃	Fe ₂ O ₃	P ₂ O ₅	MoO ₃	MoS ₂	S ₂ O ₃	Na ₂ O	K ₂ O	SO ₃	P ₂ O ₃	B ₂ O ₃	CO ₂	C ₂ H ₆ A
1	57,59	0,91	14,76	3,35	4,19	0,22	2,99	9,68	2,58	2,73	-	0,20	1,26	-	100,61
2	55,06	0,76	11,85	3,49	5,25	0,21	10,32	6,67	2,43	3,06	-	0,27	1,09	-	100,53
3	58,23	0,80	16,07	3,03	3,89	0,36	3,12	7,61	3,05	2,94	0,04	0,27	3,23	-	100,44
4	56,15	1,48	15,97	4,85	6,55	0,17	3,64	6,35	3,70	2,73	-	0,52	1,25	-	100,46

ПОСЛЕДНИЕ ПРЕДСТАВЛЕНИЯ О Н. А. ГОСЕЙКОВОМ

ри. Мат. Журн.), где в ее основании наблюдаются следующие образования ни (снизу вверх):	
1. Андезито-базальты двупироксеновые, темно-серые	
массивные	около 15 м
2. Туры двупироксеновых андезито-базальтов лите-	
кристаллогластические, псевдогипсовые	13 "
3. Андезито-базальты двупироксеновые, черные,	
массивные	
4. Туры двупироксеновых андезито-базальтов лите-	
	12 "

кристаллокластические, псамитовые.	• • • • •	20	"
5. Андезито-базальты двутироксенные, темно-серые, массивные.	• • • • • • • • • • • •	7	"
6. Туфы двутироксеновых андезито-базальтов липидо-			
кристаллокластические, псамитовые.	• • • • •	10	"
7. Андезито-базальты двутироксенные, темно-серые, массивные.	• • • • • • • • • •	10	"

I - обр.170, антикот-базалт (Рис. 6.), левобоковой р.-Мак.Бур; 2 - обр.1100, базалт антикот-оманит (Рис. 6.), левобоковой северного течения р.-Макис; 3 - обр. 5 - 25, антикот-оманит (Рис. 6.), левобоковой р.-Мак.Бур; 4 - обр.502-1, базалт (Рис. 6.), левобоковой нижнего течения р.-Мак.Бур.

На левобережье р.Эвур, в 1,5-2 км к западу от высоты 419 м покров базальтов имеет следующее строение (снизу вверх):	
1. Базальты афировые, черные, массивные	50 м
2. Базальты афировые, серые и темно-серые, плитчатые. Среди них маломощные (до 10 см) прослои базальтов сургучного цвета с редкими вкрапленинами оливина	100 "
3. Базальты пористые, серые и пепельно-серые	60 "
4. Базальты афировые, серые и темно-серые, тонко-плитчатые	50 "

Приведенный разрез характерен для всей площади распространения базальтов. Повсеместно наблюдаются пористые разности базальтов, мощность потоков которых колеблется от 2,5 м до 50-60 м, пустоты достигают 1 см в диаметре, они или полне или заполнены кальцитом. Амфилитовые базальты обладают пилотактической, интерсерптической или флюидально-тиалитовой структурой, сложены лейстами пластицизаза, зернами пироксена и стеклом, с примесью (до 1-2%) магнетита. Порфировые разности редки. Они образуют потоки мощностью от 10 см до 10-15 м среди амфилитовых базальтов; содержат вкрапленники оливинина в количестве не более 5% от общего объема породы. Очень редко встречаются потоки гиалобазальтов

андезито-базальты обладают порфировой структурой с гиалопилитовой, интерсептальной или микролитовой структурой основной массы. Среди них различаются разности авгиевые, двутироксеновые, реже гиперстеновые. Вкрашенники (5-30% объема породы)

представлены пироксенами, плагиоклазом, реже роговой обманкой и редко кварцем. Туры андезито-базальтов сложены обломками кристаллов плагиоклаза (до 60%), пироксена (до 30%), обломками андезитов и вулканического стекла. Связующей массой служит буроватый пепловый материал.

По химическому составу (табл.2) базальты отвечают среднему базальту по Дэли, а андезито-базальты занимают промежуточное положение между средними типами андезитов и базальтов по Дэли, отличающиеся от последних, как и кузнецкие базальты, несомненно повышенным содержанием шелочей.

Базальты кизинской свиты отличаются от базальтов кузнецковской свиты пониженным содержанием железисто-магнезиальных силикатов, присутствием более основных плагиоклазов, прессобладанием альмосиликатов наряду над альмосиликатами калия.

Площади развития вулканитов кизинской и кузнецковской свит отчетливо выделяются на аэромагнитных картах графиков (ΔT) в виде резко дифференцированных знакопеременных аномалий с малой амплитудой напряженности поля от -1800 до +1500 гамм (рис. I, 2).

Ввиду почти исключительно лавового состава кизинской свиты в ней не найдено исключительных органических сстатков. По петрографическому составу и положению в разрезе эти эфузивы сходны с кизинской свитой неогенового возраста Северного Сихотэ-Алиня (Плахотник, 1962а; 1962б). На смежной территории, на правобережье р. Энур, абсолютный возраст андезито-базальтов кизинской свиты оказался разным 15 млн. лет, что отвечает среднему миоцену (Осипова и др., 1966). На основании вышеизложенного списанные базальты и андезито-базальты района отнесены к кизинской свите.

ЧЕТВЕРТИЧНАЯ СИСТЕМА

Н и ж е ч е т з е р т и ч н ы е о т л о ж е н и я (?)

К данным образованиям относятся галечники, пески, суглинки, глины, слагающие террасу 80-100-метрового уровня на водоразделах рек Энур - Им и Энур - Тонней. В этих местах древний аллювиальный залегает на абсолютных высотах около 300-400 м. Естественных обнажений этих отложений не наблюдалось. Наиболее полный разрез их

вскрыт турфами на водоразделе Энур - Им. Этот разрез следующий (сверху вниз):

1. Почекенно-растительный слой	• • • • •	0,1 м
2. Суглинок коричневый	• • • • •	0,2 "
3. Песок глинистый, в нижней части с многочисленной галькой и мелкими валунами андезитов.	• • • • •	2,7 "
4. Суглинок коричневый	• • • • •	0,2 "
5. Песок глинистый, с многочисленной галькой и мелкими валунами андезитов и изредка базальтов.	• • • • •	2,5 "

Среди песка прослои серовато-сереневой глины мощностью 0,03 м. • • • • •

6. Суглинок коричневый. • • • • •

7. Песок глинистый, с многочисленной галькой и мелкими валунами андезитов и изредка базальтов

8. Глина песчанистая, бурая, с редкой мелкой галькой. • • • • •

9. Глина желто-ржавого цвета, пластичная, с многочисленной галькой андезитов. • • • • •

10. Песок глинистый, с гравием, многочисленной галькой и мелкими валунами андезитов. • • • • •

Область мощность пород по разрезу 10,9 м.

Достоверных данных для определения возраста вышеописанных отложений в районе не имеется. Споры и пыльца, обнаруженные в одной пробе из этих отложений, очень немногочисленны. В спектре их преобладает пыльца древесной растительности, главным образом береск (до 42,4%) и ольхи (до 17,4%). Пыльцы хвойных растений мало. Встречено немного пыльцы теплолюбивой растительности — граба, вяза и дуба. Пыльца трав много, а спор много: в основном сформуя и палеорогинообразных. По заключению И.Б. Мамонтовой, образование 80-100-метровой террасы рек Энур и Им происходило, предположительно, в период нижнего отдела среднечетвертичной эпохи. Однако на исследованной территории данные отложения являются более древними, чем среднечетвертичные отложения 30-60-метровых террас рек Энур, Им, Альяс. В связи с этим возраст опиcанных отложений принимается предположительно раннечетвертичным.

С р е д н е ч е т з е р т и ч н ы е о т л о ж е н и я (Q_{4T})

Среднечетвертичные образования слагают 30-60-метровые террасы рек Энур, Им, Альяс, Лев. Бичи и 25-30-метровые террасы Амгунь. В основном это песчано-галечные отложения с примесью глины, гравия и валунов.

Разрез рассматриваемых отложений изучен с помощью шурфов на левобережье р.Энур, в ее верховье. Этот разрез следующий (сверху вниз):

1. Почвенно-растительный слой	0,1 м
2. Суглинок коричневый	
3. Песок глинистый, с многочисленной галькой, гравием и мелкими валунами андезитов	2,5 м
4. Суглинок коричневый	0,2 м
5. Песок глинистый, с многочисленной галькой, гравием, а внизу - валунами андезитов	2,6 м
6. Песок глинистый, с многочисленной галькой и мелкими валунами андезитов	2,6 м
7. Суглинок коричневый (0,2 м), постепенно переходящий в бурый глинистый песок, с многочисленной галькой андезитов и гравием; в нижней части мелкие валуны андезитов	2,6 м
8. Суглинок коричневый	0,2 м
9. Песок глинистый, с галькой и мелкими валунами андезитов	2,6 м
10. Песок бурый, слабо глинистый, с гравием, галькой и мелкими валунами андезитов, в нижней части с редкими маломощными (до 5 см) линзами светло-серой пылеватой глины	2,6 м
II. Песок бурый, с незначительной примесью глины и редкой мелкой галькой андезитов	0,2 м
12. Песок сурый, слабо глинистый, с гравием, галькой и мелкими валунами андезитов	0,9 м
13. Суглинок светло-бурый, с редкой мелкой галькой и мелкими валунами андезитов	0,3 м
14. Песок глинистый, с многочисленной галькой андезитов	0,6 м
Суммарная мощность пород по разрезу 17,4 м.	
На правом берегу р.Амтуя, в 5,5 км ниже устья р.Улк, шириной вскрыт следующий разрез среднечетвертичных отложений (сверху вниз):	
I. Почвенно-растительный слой	0,20 м
2. Глина коричневая, с ярко-красным оттенком	0,10 м
3. Глина светло-коричневая, с галькой и полуокатанными обломками пород	0,25 м
4. Глина бурая, ржавая, с мелким (до 2 см) гравием (25-30%)	0,10 м

5. Гравий с глинистым заполнителем и галькой (50%)
6. Галечник и полусоветанные обломки с заполнителем из мелкого гравия и глины
- Суммарная мощность 4,5 м.

- Обломочная часть отложений споры и пыльца не обнаружены. Возраст их счищается среднечетвертичным на том основании, что они слагают более высокие террасы, чем оконтуренные спорово-пылевыми комплексом верхнечетвертичные отложения более низких террас. Кроме того, в южной части района эти отложения прослеживаются на площади листа М-53-У, где они содержат споры и пыльцу среднечетвертичного возраста (Осипова, 1963б, 1966).
- Верхнечетвертичные отложения (Q_{III})
- Верхнечетвертичные рыхлые образования сложены 6-20-метровые террасы р.Амтуя и 5-12-метровые террасы всех оставших рек района. Для амтуянских террас характерны галечно-песчаные обрашения с примесью глины и гравия, с прослоями охлажденных галечников, для террас других рек - песчано-глинистые осадки с галькой и валунами.
- Найболее полный разрез рассматриваемых отложений изучен на правом берегу р.Амтуя, в 3 км выше устья р.Богочукан, где в уступе 12-метровой террасы наблюдается (сверху вниз):
- I. Почвенно-растительный слой
2. Глина пепельно-серая, плотная, с редкими полусоветанными обломками, размером до 3-5 см. Граница полосы неровная.
3. Глина коричнево-серая, плотная, с редкой мелкой галькой
4. Галечник среднеобломочный, с заполнителем из гравия, грубозернистого песка и глины
5. Галечник среднеобломочный, ржавого цвета, с заполнителем из грубозернистого песка с небольшим количеством глины.
6. Гравий мелкий, сильно охлажденный, с заполнителем из грубозернистого песка и глины.

7. Глина плотная, серая, с редкой мелкой галькой	0,05-0,10 м
8. Галечник мелкообломочный, коричневатый, с глиной и песком	0,05-0,60 м
9. Глина серая, с пятнами ржавого цвета.	0,10-0,30 м
10. Галечник среднеобломочный, с линзами и прослойками серой глины	0,35 м
11. Песок мелкозернистый, следящий, полимитровый. Верхняя граница со следами размыва	0,2-0,7 м
12. Гравий мелкий с грубозернистым песком, с прослоями песка мелкообломочного, с мелкозернистым песком и гравием	2,90 м
13. Галечник крупнообломочный, с мелкозернистым песком и гравием	2,40 м
14. Галечник с песчано-гравийным заполнителем и настами гидроокислов марганца	0,20 м
15. Галечник с грубозернистым песком, скрепленный гидроокислями железа	0,60 м

Общая мощность 9,25 м.

На левом берегу р. Амтунь, в 6 км выше устья р. Омельян, в уступе 12-метровой террасы наблюдаются (сверху вниз):

1. Почвенно-растительный слой.
2. Песок с галькой и незначительной примесью глины
3. Суглинок с галькой, ржавого цвета, окисленный.
4. Суслесь светло-серого цвета, с хорошо окатанной плоской галькой
5. Пачка чередования окисленного суглинка с галькой и полуводяно-серого суглинка с галькой.

Общая мощность 7 м.

Галька в амтунских речных отложениях представлена в основном осадочными, частично метаморфированными, редко изверженными породами.

В долинах рек Алтыс, Эвур, Верх. Горбыль, Димитров и Амтунь в описанных отложениях выявлены спорово-пыльевые комплексы (определение И.Б. Мамонтовой, Л.Л. Казачкиной и П.И. Битюковой), характеризующие начало времени похолодания, переходящего в период холодного и влажного климата эпохи позднечетвертичного оледенения. В более ранних отложениях спорово-пыльцевой спектр представлен на 62% пыльцой главным образом бересклет кустарниковый и древесной, ольхи, ивы, меньше сосновых, единичными экземплярами

11. Песок мелкозернистый, следящий, полимитровый. Верхняя граница со следами размыва

12. Гравий

13. Галечник

14. Галечник

15. Галечник

16. Галечник

17. Галечник

18. Галечник

19. Галечник

20. Галечник

21. Галечник

22. Галечник

23. Галечник

24. Галечник

25. Галечник

26. Галечник

27. Галечник

28. Галечник

29. Галечник

30. Галечник

31. Галечник

32. Галечник

33. Галечник

34. Галечник

35. Галечник

36. Галечник

37. Галечник

38. Галечник

39. Галечник

40. Галечник

41. Галечник

42. Галечник

43. Галечник

44. Галечник

45. Галечник

46. Галечник

47. Галечник

48. Галечник

49. Галечник

50. Галечник

51. Галечник

52. Галечник

53. Галечник

54. Галечник

55. Галечник

56. Галечник

57. Галечник

58. Галечник

59. Галечник

60. Галечник

61. Галечник

62. Галечник

63. Галечник

64. Галечник

65. Галечник

66. Галечник

67. Галечник

68. Галечник

69. Галечник

70. Галечник

71. Галечник

72. Галечник

73. Галечник

74. Галечник

75. Галечник

76. Галечник

77. Галечник

78. Галечник

79. Галечник

80. Галечник

81. Галечник

82. Галечник

83. Галечник

84. Галечник

85. Галечник

86. Галечник

87. Галечник

88. Галечник

89. Галечник

90. Галечник

91. Галечник

92. Галечник

93. Галечник

94. Галечник

95. Галечник

96. Галечник

97. Галечник

98. Галечник

99. Галечник

100. Галечник

101. Галечник

102. Галечник

103. Галечник

104. Галечник

105. Галечник

106. Галечник

107. Галечник

108. Галечник

109. Галечник

110. Галечник

111. Галечник

112. Галечник

113. Галечник

114. Галечник

115. Галечник

116. Галечник

117. Галечник

118. Галечник

119. Галечник

120. Галечник

121. Галечник

122. Галечник

123. Галечник

124. Галечник

125. Галечник

126. Галечник

127. Галечник

128. Галечник

129. Галечник

130. Галечник

131. Галечник

132. Галечник

133. Галечник

134. Галечник

135. Галечник

136. Галечник

137. Галечник

138. Галечник

139. Галечник

140. Галечник

141. Галечник

142. Галечник

143. Галечник

144. Галечник

145. Галечник

146. Галечник

147. Галечник

148. Галечник

149. Галечник

150. Галечник

151. Галечник

152. Галечник

153. Галечник

154. Галечник

155. Галечник

156. Галечник

157. Галечник

158. Галечник

159. Галечник

160. Галечник

161. Галечник

162. Галечник

163. Галечник

164. Галечник

165. Галечник

166. Галечник

167. Галечник

168. Галечник

169. Галечник

170. Галечник

171. Галечник

172. Галечник

173. Галечник

174. Галечник

175. Галечник

176. Галечник

177. Галечник

178. Галечник

179. Галечник

180. Галечник

181. Галечник

182. Галечник

183. Галечник

184. Галечник

185. Галечник

186. Галечник

187. Галечник

188. Галечник

189. Галечник

190. Галечник

191. Галечник

192. Галечник

193. Галечник

194. Галечник

195. Галечник

196. Галечник

197. Галечник

198. Галечник

199. Галечник

200. Галечник

201. Галечник

202. Галечник

203. Галечник

204. Галечник

205. Галечник

206. Галечник

207. Галечник

208. Галечник

209. Галечник

210. Галечник

211. Галечник

212. Галечник

213. Галечник

214. Галечник

215. Галечник

216. Галечник

217. Галечник

218. Галечник

219. Галечник

220. Галечник

221. Галечник

222. Галечник

223. Галечник

224. Галечник

225. Галечник

226. Галечник

227. Галечник

228. Галечник

229. Галечник

230. Галечник

231. Галечник

232. Галечник

233. Галечник

234. Галечник

235. Галечник

236. Галечник

237. Галечник

238. Галечник

239. Галечник

240. Галечник

241. Галечник

242. Галечник

243. Галечник

244. Галечник

2

Низкая (до 1,5 м) пойма р. Амтуны сложена супесцами, суглинками, песками с небольшим количеством гальки. Русловая и косогорная фации представлены разнозернистыми песками и галечниками.

Поймы кругих рек района сложены иллистыми суглинками, супесями с галькой и гравием, а русловой и косовой гальвой состоят из разнозернистых песков с гравием, галькой, валунами. В верховых рек преобладают галечники и валуники с супесчаными заполнителями. В нижних течениях рек в руслах накапливается иллистый материал. Мощность современных отложений не превышает 5-8 м.

ИНТРУЗИВНЫЕ ОБРАЗОВАНИЯ

Интузивные породы района представлены главным образом позднемеловыми гранитами Омельдинского массива. Незначительно развиты самостоятельные мелкие тела и дайки гранитомицтов, диоритов, кварцевых диоритов, патагранит-порфиров, гранит-порфиров, аplitов и лампрофиров. Резко повышенное значение имеет неогеновые дайковые образования.

ПОЗДНЕМЕЛОВЫЕ ИНТРУЗИИ

Кварцево-диориты ($\delta_{\text{сг}_2}$) слагают два мелких массива, одна из которых расположена на левом берегу р. Колыни, а второй — на водоразделе последней с руч. Трянин. Наиболее крупный массив имеет размеры 0,6 x 3,0 км. Кварцевые диориты — мелкозернистые породы темно-серого цвета, часто с редкими крупными (до 5-10 мм) вкрашениками патагранита и роговой обманки. Они облягают порфироидной гипидиоморфозернистой, перекристаллизованной-зернистой структурой. Состав пород следующий (в %): патагранит 50-60, кварц 10-20, калиевый полевой шпат, роговая обманка 15-20, биотит до 5, акцессорные минералы — апатит до 2 и магнетит. Чешуйки в неизначительном количестве встречаются темно-серые мелкозернистые массивные диориты гипидиоморфозернистой структуры, состоящие из патагранита (70%), роговой обманки (25%), аугита (5%), кварца (до 2%), магнетита и акцессорного апатита.

Граниты ($\gamma_{\text{ст}2}$). Граниты сложены Омельдинским массивом площадью 350 км², занимающим центральные части Омельдинских гор. В плане массив имеет вытянутую в северо-восточном направлении форму и параметры: длина 50 км, ширина от 3 до 11 км. Строение массива однородное. Он сложен среднезерни-

тыми роговообманиково-биоститовыми гранитами; резко повышенное значение имеют гранокордит и порфироидные граниты. Зона эндо kontakt, имеющая ширину 100-150 м, представлена среднезернистыми, реже мелкозернистыми гранодиоритами и гранитами или гранит-порфиритами. Для пород массива характерна матралевитая отдельность. Контакты массива крутые. Ширина среды контактовых роговиков изменяется от 0,5 до 1,5 км. Интузия относится к типу трещинных. Образованы, очевидно, в обилизованых условиях, на что указывает хорошо развитая краевая фация, наличие в последней гранит-порфировых и порфироидных структур, зонарный характер патагранита, отсутствие пегматитов.

В связи с однородным составом Омельдинского массива он характеризуется в основном недифференцированным отрицательныммагнитным полем напряженностью до 150-350 гами.

Граниты — серые или светло-серые среднезернистые породы, облягающие гипидиоморфозернистой структурой и состоящие из патагранита № 25-30 (25-40%), ортоклаза (25-35%), кварца (20-30%), биотита (5-10%), роговой обманки (2-5%) и акцессорных минералов — циркона, апатита, граната, орнита.

Вторичные изменения пород выражены в хлоритизации биотита, образовании актинолита по роговой обманке, сернистизации патагранитов и пелитизации калиевых полевых шпатов.

Химический анализ (табл. 3, анализ I) показывает, что граниты Омельдинского массива в сравнении со средним типом гранита по доли солеродных больших щелочных и железисто-магнезиальных силикатов, меньше свободной кремнекислоты.

Из элементов-примесей, по данным спектрального анализа, в описанных гранитах присутствуют никель, кобальт, ванадий, хром, молибден, медь, свинец, барий, бериллий, иттерий, иттербий, стронций, скандий, таллий, фтор.

Мелкозернистые порфироидные граниты Омельдинского массива отличаются более кислым составом по сравнению с преобладающими гранитами массива. Они состоят из калиевого полевого шпата (50%), патагранита (15%), кварца (30%), биотита (5%) и единичных зерен роговой обманки.

Гранит-порфириты краевой фации — серые и розовато-серые массивные породы порфироидной структуры, с микропорфитовой структурой основной массы и вкрашениками (до 40% объема) патагранита (андезит № 35-38), калиевого полевого шпата, кварца, в меньшем количестве биотита и роговой обманки. Аксессорные минералы — апатит, циркон, ильменит. Основная масса гранит-порфиров пред-

Таблица 3

ХИМИЧЕСКИЙ СОСТАВ ПОЗДНЕГОВЫХ ИНТЕРЗАИННЫХ ПОРОД

№/п.	Содержание, %														Литература
	SiO ₂	TiO ₂	Al ₂ O ₃	Fe ₂ O ₃	Na ₂ O	MgO	CaO	Na ₂ O	K ₂ O	SiO ₂	P ₂ O ₅	H ₂ O*	CO ₂	П.п.п.	
1	68,05	0,57	14,98	0,54	2,92	0,09	1,73	2,80	3,20	5,15	0,00	0,13	0,24		100,4
2	65,37	0,56	15,13	0,64	3,78	0,11	1,54	4,05	3,44	5,00	0,03	0,18	0,49		100,32
3	66,10	0,35	15,84	1,01	2,87	0,07	1,81	3,60	3,01	3,92	0,02	0,15	0,04	0,84	99,63
4	66,57	0,55	14,61	0,68	3,17	0,08	2,06	3,33	3,45	3,90	0,00	0,15	0,78	0,34	99,67
5	64,66	0,69	14,89	2,50	2,70	0,12	2,11	3,22	3,44	5,59	0,16	0,16	0,50		100,58

Числовые характеристики по А.Н. Заварзину

№/п	a	c	b	s	a'	f'	z'	n	ρ	t	q	v/c	Автор
1	14,3	2,7	6,7	76,3	-	47,0	43,0	10,0	48,6	6,0	0,6	21,3	5,3 Канно и др., 1965†
2	14,6	2,7	8,9	73,8	-	47,0	28,8	24,2	50,9	6,1	0,6	15,7	5,4 Канно и др., 1965†
3	12,3	4,4	7,0	76,3	3,9	52,0	44,1	-	53,9	11,8	0,5	23,6	2,8 Кириллов, 1974†
4	13,2	3,1	8,0	75,7	-	44,9	43,2	11,9	57,7	6,8	0,6	21,9	4,3 Канно и др., 1965†
5	15,3	2,1	9,9	72,7	-	48,0	35,1	16,9	48,8	21,5	0,8	12,7	7,3 Канно и др., 1964†

I - обр. 2377, гранит роговобиманово-биотитовый, Омельдинский массив, в 4 км к СВ от горы Сетто; 2 - обр. 2661, гранодиорит биотито-роговобимановый, Омельдинский массив, в 2,1 км к югу от Белой горы; 3 - обр. 549, гранодиорит биотито-роговобимановый, Омельдинский массив, в верховье р. Чал-Омельянин; 4 - обр. 592, гранодиорит роговобиманово-биотитовый, Балгаский массив, северо-восточный узел района; 5 - обр. 633-1, гранодиорит биотито-роговобимановый, гора Лука.

ставлена микрокристаллическим зиркелем выщеперечисленных минералов.

Порфировидный аллюритовый гранит с горы Ботчука, слагающий небольшой массив размером 200 × 400 м, обладает светло-серой окраской, порфировидной структурой с мелковернистой основной массой. Состав его следующий (в %): калиевый полевой шпат 50, кварц 30, плагиоклаз (альбит-олигоклаз), мусковит 3. Из акессорных минералов отмечается гранат.

Платиогранит-пироксен (титанит) слагают пять штокобразных массивов размером от 0,06 до 0,5 км², расположенных на правобережье р. Амтуны, западнее низовья р. Димитин. В плане штоки овальные или округлые. Вмещающие их осадочные породы ороговикованы. Платиогранит-пироксены – светло-серые породы с плотной фарфоровидной основной массой и целями фенокристаллами плагиоклаза и кварца. Они обладают полнокристаллической-порфировой (олигофировой) структурой с призматически-зернистой (иногда переходной к амплитовой) структурой основной массы. Участковый отмечается гранофирован структура. Текстура массивная, исключительно однородная. Немногочисленные вкрашенники (до 3%) представлены плагиоклазом, кварцем и биотитом. Основная масса состоят из плагиоклаза (50–60%), кварца (20–30%), калиевого полевого шата, незначительного количества биотита, мусковита и рутино-тио минерала.

Гранодиориты (δCr_2) встречаются в эндоконтактной Балгасской массиве, массив горы Янка, ряд мелких тел в районе указанных массивов и на правом берегу р. Амтуны, а также массив в северо-западной части района (основная часть этого массива расположена на соседней площади).

Гранодиориты – серые, средне- или неравномернозернистые, реже порфироидные массивные породы, имеющие типидоморфозернистую, редко (в пределах Омельдинского массива) монцонитидную структуру. Эндоконтактовая часть массива горы Янка шириной до 100 м сложена гранодиорит-порфиритами, а иногда породами, близкими по составу к диоритам или кварцевым диоритам. Гранодиориты состоят из плагиоклаза № 35–46 (35–60%), калиевого полевого шпата (10–15%), кварца (15–25%), биотита (3–12%), роговой обманки (3–18%), моноклинного пироксена. Аксессорные минералы представляют апатитом, цирконом, гранатом, сфеноидом, ксенотитом, магнетитом. Вторичные изменения выражены в хлоритизации, серпентинизации и пелитизации полевых шпатов, хлоритизация биотита, замещение

ротовой обманки, листовым агрегатом актинолита, реже биотитом, биотитами, хлоритизацией и пирометазации приоксена. По химическому составу (табл.3, анализ 2-5) гранодиориты района в целом соответствуют среднему типу гранодиорита по Дэли, отличаясь от последнего повышенным содержанием щелочных альмосиликаторов.

Возраст описанных выше интрузий принимается позднекамовым на основании наблюдений над контактами с эпizonальными прослоями и верхнекамовыми породами и данных определения абсолютного возраста.

В частности, граниты Омельянского массива промыают южную склонную смыку, а их абсолютный возраст равен 73 млн. лет (район горы Сетко); абсолютный возраст гранодиоритов этого же массива равен 71 млн. лет (район Белой Горы); гранодиоритов из массива района горы Чука и расположенного в северо-западной части района соответственно 70 и 63 млн. лет; кварцевые диориты имеют возраст 65-68 млн. лет (бассейн р. Кокольни).

Д а й к о в ы е п о р о д ы

Среди дайковых пород в районе установлены андезитовые порфиры, диоритовые и кварцевые диоритовые порфириты, диориты, ландыши, гранодиорит-порфиры, гранит-порфиры, аplitы. Элементы залегания даек в большинстве случаев не известны, поэтому на геологической карте, за редким исключением, простирание даек условно показано северо-восточным. Заметных ореолов орогеногенования даек не образуют. На основании складки петрографического состава долериты считаются произвольными неогеновых базальтов, андезитовые порфиры — позднекамовых андезитов амутской свиты, остальные дайковые породы — позднекамовых гранитоидов. Взаимоотношения даек с камнозойскими эффузивами не наблюдалось.

Дайки альбазитовых и кальцитовых (см. Ст₂) развиты в верховье р. Димитин и южнее горы Мощанит (бассейн руч. Гризный). Судя по свалам, мощность их достигает 7 м; в одном случае установлено северо-западное простирание даек. Альбазитовые, со слабым зеленоватым оттенком, структура их порфирована с микролитовой, участками микропакриститовой структурой основной массы. Текстура слабо выраженная флюидальная. Вкрапленники (роговик обманки?), составляющие 30-35% объема породы, наполовину замещены хлоритом с подчиненным количеством карбоната. Изредка встречаются мелкие вкрапленники кварца. Основная масса — микролиты плагиоклаза, погруженные в почти неизмененное стекло.

Аксессорные минералы — циркон, рутил, рутильный минерал.

Дайки диоритовых и порфиритовых (δ₁-Ст₂) наиболее распространенные в районе, прорывают южные толщи и буликанты амутской свиты. Среди гранитоидов они не встречаются. Наибольшее количество даек зафиксировано в бассейнах рек Аланс, Дикини, Гакчика, на левобережье р. Эвур в юго-западной части района, в меандре Эвур — Кокольни, в Баллинских тольцах. Мощность даек колеблется от нескольких десятков сантиметров до 8 м. Простирание этих даек северо-восточное, субширотное или северо-западное, падение — круглое.

Диоритовые порфиры — темно-серые, нередко с зеленым или бурым оттенком породы с экзаргументами плагиоклаза и роговой обманки. Они имеют порфиритовую структуру с приматически-зернистой, очень редко гиалопилитовой структурой основной массы. Вкрапленники (10-45% объема) представлены плагиоклазом (андезин), роговой обманкой и альбитом. Из аксессорных минералов содержатся апатит, сфен и магнетит. В некоторых даеках породы поверхены значительным изменением: плагиоклазы замещаются серпентитом, карбонатом, хлоритом, аplitом, роговая обманка — биотитом, карбонатом, альбитом, кальцитом и минералами группы эпилита.

В районе установлены две дайки к варцеевых дайко-ритовых порфиритов (см. Ст₂): на левом берегу р. Амгус, выше устья р. Омельянин, и на левом берегу р. Гакчика, в 12,5 км выше ее устья. Первая из даек имеет мощность 45 м, простирание ее северо-западное, падение на юг под углом 60-70°. Вмещающие дайку алевролиты слабо орогеникованы.

Кварцевые диоритовые порфириты — темно-серые, с зеленым оттенком или серовато-зелеными поликристаллическими-порфировыми породами, с призматически-зернистой или аллитоморфо-зернистой структурой основной массы. Вкрапленники в них (5-25%) представлены плагиоклазом, роговой обманкой, биотитом и кальцитом. Плагиоклаз часто замещается серпентитом, кальцитом и эпидотом, роговая обманка — хлоритом и карбонатом, биотит — хлоритом. Из аксессорных минералов имеются альбит, циркон, рутил и рутильный минерал.

Шифаные дайки (δ₁-Ст₂) в районе отмечаются в виде обломков в делении в пределах горного массива Чука и в коренном залегании на левом берегу нижнего течения р. Амгус. Мощность даек этих пород составляет несколько метров, простирание северо-восточное, падение куполообразное. Борозды мелкозернистые, серые с зеленым или желтым оттенком. Имеют массивную текстуру и приветически-зернистую структуру. Их состав следующий (в %): пла-

тиоклаз (андезин) 55–60, калиевый полевой шпат 0–5, кварц 0–5, роговая обманка 12–25, агвигит 12–15, биотит 6, рудного минерала до 5.

Дайки гранодиорит – порфироэз (тит-Ст₂) пользуются значительным распространением. Они развиты в юго-восточной части Омельянских гор и в северо-западной части района. Эти дайки, как и дайки гранит-порфиров, пространственно тяготеют к интрузиям гранитоидов. Мощность их достигает 60 м. Гранодиорит-порфиро – полнокристаллические-порфировые породы с проматически-зернистой, аллотриоморфозернистой, гранитной, редко микропегматитовой структурой основной массы. Количество экзрапелитников, представленных в основном андезином-олигоклавом, колеблется от 15 до 50%. Основная масса сложена плагиоклазом с подчиненным количеством кварца; незначительную роль играет калиевый полевой шпат, биотит, роговая обманка и редко – агвигит. Аксессорные минералы представлены апатитом, сфеном, цирконом и рутилом минералом.

Дайки гранит – порфироэ (тит-Ст₂) наблюдаются в верховых рек Димитин, Лягла, Донже, в Торбильянских горах и Балдинских гольцах, на правобережье р. Верх. Горобыняк и в северо-западной части района. Мощность их колеблется от нескольких метров до 75 м. Некоторые дайки гранит-порфиров контролируются разрывами северо-восточного простириания.

Гранит-порфиро – светло-серые горифиорные породы с плотной основной массой. Последняя обладает аллотриоморфозернистой, реже сферолитовой, микропорфитовой или фельзитовой структурой. Вкрапленники (8–30% объема породы) представлены плагиоклазом (альбит-олигоклаз или андезин), калиевым полевым шпатом, кварцем, кварцевая. Из аксессоров имеется апатит, сфен, циркон, матне-

тиит.

Аплииты (тит-Ст₂) образуют маломощные (1–15 см), разноориентированные жилы и дайки среди гранитоидов Омельянского и Балдинского массивов. Нередки широкие выделения аплитов, диаметром 10–50 см, также наблюдавшиеся в гранитоидах. Былки аплитов встречаются, кроме того, в пределах покрова андезитов альтской свиты в верховье р. Дягиля и среди осадочных пород на северо-западе района. Аплиты – светлоокрашенные породы мелкозернистой алитовой структуры. Состав их следующий (в %): кварц 45–50, калиевый полевой шпат 40–45, плагиоклаз 5–7, единичные кристаллы биотита и роговой обманки.

Лампрофиры (ХСт₂) зафиксированы в сводах в предла-

гах горного массива Яуга и на северо-западном склоне горы Богочукан. В окрестностях горы Яуга среди них выделяется ряд разновидностей: 1) спессартиты темно-серые или черные, иногда с зеленоватым оттенком, мелкозернистые, проматически-зернистой или полнокристаллически-порфировой структуры; состоят они из плагиоклаза и бледно-зеленой роговой обманки в разных количествах или с преобразланием плагиоклаза, редких зерен кварца, калиевого полевого шата и рудного минерала; 2) лампрофиры типа олинита, обладающие проматически-зернистой структурой и состоящие из плагиоклаза (60%), роговой обманки (25%) и агвигита (15%); 3) лампрофиры, переходные от силикатных к амфиболовым, характеризующиеся типами олиоморфозернистой структурой и следующим составом: плагиоклаз (до 40%), роговая обманка (до 25%), агвигит (15%), агвигит (10%), рудный минерал, вторичные минералы – серпентит, кальцит, хлорит.

В районе горы Богочукан встречены обломки лампрофиров типа персанита. Породы темно-серые, измененные, обладают реликтовой порфировой микропроматически-зернистой структурой. Состав они из плагиоклаза (30%), биотита (20–25%), вторичного амфиболя (35%), кварца (10–15%). В первичной породе имелись, очевидно, пироксен и роговая обманка, замещенные волокнистым амфиболовым типом актинолита. Биотит частично обесцвечен, основная масса окварцована.

НЕОГЕННЫЕ ИНТРУЗИИ

Дайки

Базальты (долериты) (βН) отмечены в бассейне руч. Грязный, в верховье р. Большунки, в междуручье Большунки – Мал.Хунки, на правом берегу р. Амтунь, ниже устья р. Уки и на правобережье верхнего течения р. Димитин. В долине р. Амтунь обнаружены три дайки долеритов, мощности которых колеблются от 0,5 до 7 м. Простириание дайк северо-западное, падение крутое. В междуручье Большунки – Мал.Хунки дайки долеритов приурочены к зоне разлома северо-восточного простириания. Над указанными дайками по р. Амтунь отмечается магнитное поле интенсивностью 90 гамм, а над дайкой на правобережье р. Димитин – интенсивностью 210 гамм при слабом отрицательном поле над вмещающими осадочными породами.

Долериты — темно-серые, тонкозернистые, массивные или (на Р.Амтуни) миндалекаменные породы. Они обладают порфировой структурой с долеритовой или интересерталльной структурой основной массы. Состоит они из плагиоклаза (андезин-лабрадор № 40-65) (до 60%), альбита (до 40%), магнетита, иногда незначительного количества стекла и кварца. Нередки вкрапленники оливина (до 10%). По склону развивается иллингсит, по оливину — серпентин, магнетит, гидроокислы железа и микрокристаллический кварц. Миндалины сложены халцедоном.

В связи с магматической деятельностью на рассматриваемой территории имели место процессы контактового и гидротермального метаморфизма.

Роговики и ороговикованные осадочные и пулканогенные породы в виде полосы шириной 0,5–1,5 км окаймляют интрузии гранит-идлов. На некоторых участках (левобережье р.Амтуни, ниже устья р.Гакинка, в верховье руч.Зазаево и на правобережье р.Энур км. 5. Горы Сетко) ороговиковование пород связано, по-видимому, с не вскрытими эрозией интрузиями телами. Роговики имеют темно-серую, реже серую с буроватым оттенком окраску. Отличаются пятнистые, узловатые, полосчатые и массивные роговики. По вещественному составу выделяются следующие разновидности роговиков.

1. Альбито-слюдисто-кварцевые роговики, образованные по алевролитам и песчаникам, развиты в экзоконтактах Омельянского и Балкинского интрузивов, а также интрузивов на северо-западе района, в районах гор Луга, Гобчихиг и других местах. Эти роговики имеют микролиллитогранобластовую структуру, массивные, полосчатые или узловатую текстуру. Состоит они из кварца (40–60%), биотита (до 15%), альбита (до 10%), серицита (до 10%), апатита и иногда турмалина. В качестве аксессорных минералов присутствуют апатит, циркон, рудный минерал.

2. Биотит-полевошпат-кварцевые роговики с гипсовыми включениями и алевролитами вблизи Омельянского интрузива гранит-идлов. Они состоят из кварца, серцитизированного плагиоклаза, цеуска биотита, реже серицита, зерен вторичного турмалина, акцессорных минералов — апатита и рудного минерала. Кварц двух генераций — реликтовый обломочный и вторичный, образованный за счет цемента пород.

3. Кордиерит-слюдисто-кварцевые роговики наиболее развиты в контакте с гранитоидами Омельянского интрузива и интрузивами

плагиогранит-порфиров на левоберегье р.Димитин. Эти роговики вошли за счет глинистых сланцев и частично алевролитов. Они обладают лепидогранобластовой, реже гранолепидобластовой или кристаллобластическая-порфировой структурой, пятнистой или полосчатой текстурой и сложены кристаллоцитомитическим агрегатом кварца с незначительным количеством полевых шпатов, промежуточного материала, реликтовых обломков кварца и новообразованиями — серпентитом, стилингомелитом, кордиеритом. Последний образует порфиробласты (до 1 мм в диаметре), неправильной формы скопления, обособливавшие пятнистую текстуру пород.

4. Эпилом-актинолит-альбит-кварцевые роговики образованы по песчаникам, реже алевролитам непосредственного экзоконтакта Омельянского интрузива гранитом. Они сложены агрегатом зерен кварца и лист новообразованного альбита, итогнатами и видимыми актинолитами, эпиломом, с примесью глинистого материала и тонкораспыленным рутиловым минералом.

5. Альбит-биотит-кварцевые роговики развиты по песчаникам в районе горы Богочукан. Они обладают лепидогранобластовой с реликтами псамитовой структуры. Сложен горным блоком минералами — кварцем, альбитом, актинолитом, биотитом, рутилом с примесью (до 30%) терригенного материала — обломков кварца, реже — полевого шпата.

6. Роговики по андезитам и андезито-дацитам распространены в эпиконтакте Омельянского интрузива и в окрестностях горы Гобчихиг. Периметр порфирован структура эфузивов сохраняется. Основная масса их превращена в тонкозернистый агрегат лепидогранобластовой структуры, состоящий из кварца, альбита, амфибола и эпилома, среди которых обособляются куминые скопления мелкочешуйчатого биотита. По роговике обнажке различается амфиб и магнетит, по плагиоклазам вкрапленники — кварц, альбит, эпилом, биотит; моноклинный пироксен (перикристов заменен колонистским амфиболовым, наряду с биотитом или магнетитом). При слабом ороговиковании средних эфузивов по плагиоклазам развивается серпентит, эпилом, гипнитистые продукты, по амфибулю — амфиб, в основной массе покоятся синхронные кварцы, эпилом и реже амфиб.

Относительно широко в районе распространены гидротермально-измененные породы в гирьках в архиметре, образованные за счет вулканического зернистого мела. Они установлены в бассейне р.Альбис, в Железняках Энур — Альбис, Альбис — Горелая — Ик, Ик — Бол.Хунки, Мал.Хунки — Данткан, в бассейнах рек Омельян, Верх.Ик.Горобчик, Верх.Ик.Балда. От-

мечается приуоченность большинства полей вторичных кварцитов к зонам разрывных нарушений.

Среди гидротермально-измененных пород, образованных по эф-флюзивам, выделяются пропилитизированные, серидит-кварцевые, ка-олинит-кварцевые и каолинит-монтморилонит-кварцевые, алюнит-кварцевые, монокварцевые породы.

Пропилитизированные породы установлены в окрестностях горы Гобчижкит, в бассейне р.Алтыс, на правобережье р.Им, в между-речье Им - Бол.Хунки, Мал.Хунки - Янгтак, на небольших участ-ках в нижнем течении рек Верх.Горбыляк и Верх.Балда, в верховь-ях рек Верх.Балда, Долойе и руч.Грязный. Площади развития дан-ных пород тяготеют к полям вторичных кварцитов, являясь в об-щем случае внешней зоной последних. Пропилитизация подверглись также лайковые долериты в междууречье Бол. и Мал.Хунки. Измене-ния последних связаны с низкотемпературными гидротермами, про-явившимися в неогене. Кроме того, в зонах разломов в ряде участ-ков отмечается карбонатизация, хлоритизация, серидитизация, частично албитизация вулканогенных и осадочных пород.

Кислые и средние вулканиты, подвергшиеся пропилитизации, обычно сохраняют первичную порфирокую или кластическую струк-туру. Изменение заключается в развитии по породам вторичных кварца, серидита, хлорита, карбоната, эпидота, гидроокислов же-леза. При более значительных изменениях сформированы адулярово-кварцевые породы, содержащие обычно примесь мономориллита, ка-олинита, хлорита, серидита; количество гидроокислов железа в них достигает 15%. Характерным для пропилитов является пирит. Иногда в них находится киноварь (междууречье Мал.Хунки - Янг-так), гематит, лейкохексен. Спектральным анализом в пропилитах обнаружены ртуть, синец, цинк, медь, олово, золото.

Серидит-кварцевые породы развиты главным образом в верхнем течении р.Алтыс, на правобережье рек Дыгда, Мал.Омельдин, в ме-дведче Мал.Хунки - Янгтак. Эти породы обладают светло-серой окраской, реликтовой порфироцкой структурой с микролепидотро-блестящей структурой основной массы. Состав они из серидита (30-60%), кварца, небольшого количества гидроокислов железа, рутита, каолинита, пылеватых частиц рудного минерала. Каолинит-кварцевые породы развиты в междууречье Им - Бол.Хунки, а каолинит-монтморилонит-кварцевые - в бассейне р.Алтыс и на правом берегу р.Верх.Горбыляк. Это светло-серые, желтовато-серые, темно-серые с красноватым оттенком массивные, реже пористые породы. Структура их реликтовая порфироцкая с микро-или

криптокристаллической структурой основной массы. Породы состоят из кварца (25-60%), каолинита (5-30%), монтморилонита (до 15-40%), гидрослюды (до 25%), гидрохлорита (до 5%), гидроокислов железа, аулара (до 2%), лейкохексена. Из рудных минералов в этих образованиях отмечается арсенопирит, скородит. Спектральным ана-лизом в них установлены сурьма, синец, медь, олово, молибден, серебро, бериллий, ртуть, мышник.

Алюнит-кварцевые породы фиксируются в западной части уча-стка вторичных кварцитов в верхнем течении р.Горькой. Внешне это светло-серые брекчиированные, кальциновые и обожженные поро-ды, обладающие лепидогранобластовой структурой. Состав их сле-дующий (в %): чешуйчатый или листоватый алюнит 40, кварц 50, се-ридит, гидроокислы железа, единичные зерна диаспора, редкие скопления руттила (сандинит). Спектральным анализом в них уста-новлены синец, медь, цинк, молибден, олово, ртуть.

Монокварциты установлены в восточной части участка вторич-ных кварцитов в верхнем течении р.Горькая, на правобережье р.Верх.Горбыляк и в междууречье Верх.и Ниж.Балды. Они представ-лены белыми или желтовато-белыми сливными кальциновыми породами, пятнисто окрашенными гидроокислами железа в красно-бурый цвет.

Структура пород гранобластовая, участками лепидогранобластовая. Они почти нацело состоят из кварца с незначительным количеством гидроокислов железа (редко до 10%), серидита, руттила и гематита. Содержание гематита достигает в редких случаях 40% объема поро-ды, например, в среднем течении р.Мал.Омельдин. В этих случаях породы близки к железистым кварцитам.

Из других гидротермальных образований в районе известны прожилки и жилы кварца мощностью до 1 м, редко более. Наиболь-шее количество их наблюдается в бассейнах рек Димитин, Таклынка и Верх.Горбыляк. В кильном кварце иногда содержится примесь се-ридита, хлорита, мусcovита, лимонита, пирита, сульфидов полиме-таллов, кассiterита, шеелита, вольфрамита и др. В междууречье Кокольни - Грязный, в верховье р.Долойе в зонах разрывных нару-шений, а также на горе Богочукан, в верховье р.Долойе и др. раз-вито прожилко-вкрашенное окварцевание, при котором осадочные породы замещаются микрокристаллическим, реже хлапцепеноидным кварцем, серидитом, хлоритом и гидроокислами железа.

В северо-восточной части Омельдинского массива гранитов наблюдались свалы кварц-турмалиновых, близких к гремянам по-род, состоящих из кварца, турмалина (до 40%), редких чешуйек мус-ковита и реликтов катаклизированных кристаллов олигоклаз-анде-

зина, кальевого полевого шпата, а также гирона.

В северо-западной части района, на горе Богоукаан в свалах установлены граэзы. Судя по свалам, мощности зон грейзенизации, возникших по трещинам, зонам трещиноватости и смятия в осадочных породах (песчаники, мелкие алевролиты), колеблются от нескольких десятков сантиметров до 1 м. Грейзены имеют гранолепибластовую или лепилогранобластовую структуру, нередко содержат изогнутность касситерита и других рудных минералов. Состав их следующий (в %): кварц 35-45, мусcovит 35-60, гидроокислы железа 5-7, рутил до 1, в некоторых случаях касситерит, шеелит, вольфрамит и др.

ТЕКТОНИКА

Рассматриваемая территория охватывает южную окраину Амгуинского синклиниория и частично район сочленения Горинского синклиниория с Ниланским антиклиниорием Сихотэ-Алинской складчатой области (Л.И.Красный, 1959 г.). Эти структуры, сформированные в результате проявления нескольких (из складчатости, послесловий осложнений наложенных структур) позднемелового, неогенового и четвертичного возраста. В целом в районе отчетливо проявлен ряд структурных этажей, каждый из которых характеризуется различной степенью сложности складчатых и разрывных дислокаций (рис.3).

Нижний структурный этаж образован породами раннекаменноугольного возраста, развитыми в бассейне р.Тонней. Согласно тектонической схеме Н.К.Осиповой (1963), в описываемом районе заходит северо-западное крыло антиклинальной складки, углы падения пород в пределах которой изменяются от 30 до 50°.

С другими геологическими образованиями нижний карбон района граничит по разрывным нарушениям.

Второй структурный этаж сложен юрскими отложениями. Для этого этажа характерны складки линейно-полярного типа главным образом северо-восточного простирания. Главные структурами юрских образований является Эвурская, Ольдиканская, Доломинская антиклиналь и Томаканская синклиналь.

Эвурская антиклиналь расположена в южной части района, являясь продолжением одноименной структуры, закартированной Н.К.Осиповой на плане листа №53-У1 (1963, 1966). Наиболее приподнята часть антиклинали, расположенная в Засечне р.Тонней,

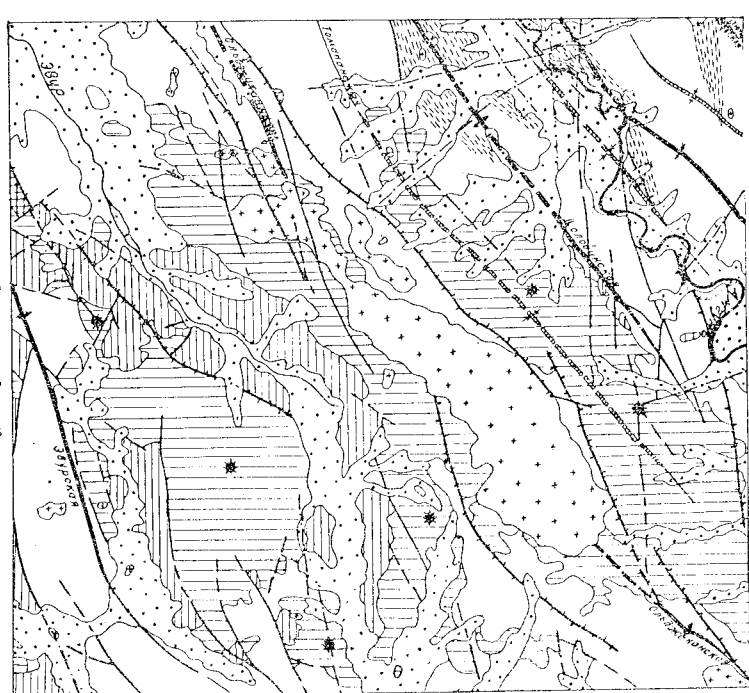


Рис.3. Тектоническая схема

1 - вискоциклические раковые четвертичные отложения; 2 - неогенные и палеогеновые горизонтально залегающие вулканиты; 3 - слабо кислопированные нижне- и верхнемеловые вулканиты; 4 - область развития юрских складчатых отложений; 5 - область палеозойской складчатости; 6 - позднемеловые интрузии гранитоидов; 7 - осевые линии антиклиналей; 8 - осевые линии синклиналей; 9 - осевые линии антиклиналей и синклиналей, перекрытые разрывными четвертичными отложениями, мезозойскими и кайнозойскими вулканитами; 10 - разломы регионального значения; 11 - прочие разрывы; 12 - прецессованные, в скрытые под разрывами четвертичными отложениями; 13 - зоны рассланцевания пород; 13 - центры вулканических извержений предполагаемые

где в ее ядре обнажены породы фундамента (нижнекрестовая подсвита), сударская и хурбинская свиты. Крылья рассматриваемой структуры сложены хурбинской и ульбинской свитами. Ширина складки достигает 20 км. Шарнир складки плавно погружается к востоку северо-востоку; одновременно складка разделяется на две ветви узкой синклинальной складкой второго порядка.

Южная ветвь антиклинали, проходящая через гору Дугу, прослеживается от верховьев р.Харлин до верховьев р.Горелая на протяжении 35 км. Субширотное направление складки в нижней части переходит в северо-восточное. Шарнир ее постепенно погружается к северо-востоку. Величина угла погружения шарнира складки в районе горы Дуга равна 45°. Углы падения пластов на крыльях складки 35–40°. Оба крыла осложнены рядом мелких складок шириной до 1 км, с углами падения крыльев до 70°. К центральной части ветви приурочены мелкие тела позднемеловых гранитоморфтов.

Северная ветвь Эзурской антиклинали почти на всей своей площади прекращена породами вышележащих структурных этажей. Лишь в верховьях р.Горелой она фиксируется линейным выходом отложений Ульбинской свиты.

Северо-западнее Эзурской антиклинали находятся синклиналь, приуроченная к бассейну рек Эзур и Им. Ядро ее сложено сибирской свитой. Структура на большей части площади прекращена верхними меловыми и кайнозойскими вулканитами и рядами четвертичными отложениями. Еще далее к северо-западу через всю территорию листа протягивается Ольджиканская антиклиналь^х, ось которой проходит по долине р.Кокольни и далее вдоль водораздела Омельдинских и Горбылякских гор и Балдинских гольцов. Шарнир этой складки испытывает удлинение, а в бассейне р.Кокольни резко возникается в юго-западном направлении. Ядро складки сложено хурбинской и Ульбинской свитами. Ширина складки составляет 10–12 км. Осложнение ее складки второго порядка имеет ширину до 1 км. Углы падения крыльев обычно 40–60° с отклонениями до вертикального, а на отдельных участках (левобережье р.Кокольни) они имеют запрокинутое на юго-восток залегание.

К осевой части Ольджиканской антиклинали приурочены Омельдинский и Балдинский массивы гранитоидов.

Северо-западнее вышеописанной структуры располагается Томаканская синклиналь. Ось ее прослеживается от верховьев р.Им-х/ Название данной антиклинали, а также Томаканской синклинали дано В.Э.Хромовой и др. (1966).

Митин в северо-восточном направлении, через верхние течения левых притоков р.Омельдин. Большая северо-восточная часть синклинали перекрыта вулканитами верхнего мела. В верховьях р.Димитин ядро складки сложено силинской свитой. Ширина синклинали здесь 8 км. Кроме антиклинального поднятия в осевой части, синклиналь осложнена рядом мелких складок шириной 0,5–1,2 км. Углы падения пород на крыльях таких складок колеблются от 30 до 70°. Иное крыло Томаканской синклинали образовано крупным разломом северо-восточного направления, по которому происходит ее сочленение с Ольджиканской антиклиналью.

На правобережье р.Амтуны расположена Долотинская антиклиналь северо-восточного направления, прослеживающаяся от нижнего течения р.Димитин и верховья р.Амусикан и далее на северо-восток за пределы района. В ядре антиклинали обнажены породы хурбинской и ульбинской свит. Ширина складки 10–15 км. Она осложнена более мелкими складками шириной 1–2 км. Углы падения слоев на крыльях таких складок колеблются от 35 до 85°. В западной части в ядре структуры породы подверглись интенсивному динамометаморфизму. И этой же части структуры приурочены мелкие тела позднемеловых плагигранит-порфиров.

Вдоль долины р.Амтуны проходит синклиналь, фиксирующаяся выходами пород силинской свиты. Ширина синклинали достигает 10 км. Структура осложнена складками второго порядка с углами падения крыльев 55–72°. Близ пос.Заваево и в некоторых других местах эти складки опрокинуты на юго-восток. В пределах синклинали значительным развитием пользуются разрывные нарушения типа сбросов, зоны смятия и рассланцевания.

В северо-западной части района наблюдается небольшая синклиналь, шарнир которой проходит вдоль осевой части Омальского хребта, а на крайнем северо-западе района фиксируется окончание Тютиковской синклинали, закартированной В.Э.Хромовой на соседней площади (1966). Ядро этих синклиналей сложено силинской, а крылья – ульбинской свитой. Данные структуры осложнены более мелкими складками шириной 0,5–1 км. Углы падения слоев на крыльях таких складок изменяются от 15 до 90°; отмечаются также опрокинутые на юго-восток складки.

Третий структурный этап, отделенный от второго поверхностью резкого углового несогласия, образует вулканиты амурской свиты верхнего мела. Эти образования занимают мульдообразные прятки в бассейнах рек Эзур, Им и Алдыс, на северо-западных склонах Омельдинских и Горбылякских гор

и Балдинских тольцов. В связи с дифференцированными блоками движимыми в конце позднего мела вулканиты амутской свиты смыты в пологие складки преимущественно северо-восточного простирания (бассейны рек Омельдин, Верх. и Ниж. Горбылик, Верх. и Ниж. Балда) или образуют брахиформные структуры (бассейны рек Эзур, Им.).

Углы падения пород на крыльях не превышают 10-30°.

Базальтами Кузнецковской и Кизинской свит распространены в пределах грабенобразных структур, осложненных протокой Третьего структурного этажа, в бассейнах рек Бичи, Алдис, Эзур и Им. Как правило, эфузивы залегают горизонтально или слабо нахилено, о чем свидетельствуют контуры покровов, совпадающие с горизонталиями на карте.

Значительную роль в тектонике района играют разрывы — иные и аршинные, среди которых выделяются разрывы следующих направлений: северо-восточного с отклонениями до широтного, северо-западного и субмеридионального. Большинство из них делифирируется на аэрофотоснимках, а на местности контролируется тектоническими брекчиями и милонитами, гидротермально-измененными породами, окварцеванием, лайками изверженных пород. Наиболее распространены разрывы северо-восточного и субширотного направления, относящиеся к сбросам и взбросам. Заложение их прошло, вероятно, в раннем мелу, однако движения по ним неоднократно повторялись в позднем мелу и в кайнозое. По разломам северо-восточного направления происходили трещинные излияния из Кузнецкой и Кизинской свит, частично амутской свиты, что отражается на аэромагнитных картах (см. рис. 1, 2). Наиболее поздними являются разрывы северо-западного и субмеридионального направления.

Разрывные нарушения северо-восточного и субширотного направления группируются в четыре зоны, состоящие из серии сопряженных параллельных и кулисообразно расположенных нарушений с многочисленными ответвлениями. Эти зоны, или разломы, имеют региональное значение.

Первый разлом проходит в южной части района через низовье саргаских осадочных породами. Восточнее низовья р. Алдис одна из сопряженных с данным разломом и параллельная ему тектоническая зона мощностью более 5 м выполнена тектонической глиной.

Второй разлом прослеживается от верховья р. Тонней в юго-западном направлении р. Эзур до верховьев последней и проявляется далее

к северо-востоку в бассейнах верхних течений рек Бол. и Мал. Хунки. Севернее р. Мал. Эзур этот разлом фиксируется зоной милонитов и тектонической глины мощностью до 40 м. Амплитуда вертикального перемещения по сбросу не менее 250 м. Ветвь этого разлома, проходящая по левобережью р. Алдис, отмечается зоной дробления мощностью 70 м.

Третий разлом прослеживается в междууречье Эзур — Кокольни, затем он проходит далее на северо-восток вдоль северо-западных склонов Омельдинских и Горбыликских гор и Балдинских тольцов. Он продолжается за пределы района на юго-запад в долину р. Эзур и на северо-восток. По нему произошло позднинание юго-восточного блока, причем амплитуда смещения в центральной части района достигает 600 м.

Четвертый разлом прослеживается в долине и придолинной части р. Амтунь. На соседней с запада площади этот разлом установлен вертикальным электрическим зондированием (Хромова и др., 1966а). С разломом связан ряд параллельных и опирающихся разрывов. В пределах зоны данного разлома широко развиты рассланцевание, филиация, в меньшем объеме гидротермальное изменение пород по трещинам, окварцевание и образование маломощных жил кварца. Сланцеватость выражается в параллельной ориентировке слюдистых минералов, удлиненных зерен полевых шпатов. Рассланцевание в некоторых местах (верховье р. Гакынка) сопровождается плойчатостью пород. Плоскости сланцеватости и слоистости чаще всего совпадают или пересекаются под острым углом. Зоны сланцеватости показаны на геологических разрезах условно вертикальной штриховкой. Разломы северо-западного и субмеридионального направления прослеживаются в западной части района. Они являются крутонасыщенными сбросами или взбросами (80-90°). Сочетание разрывов нескольких направлений установлено на примятуском участке западной части района. Амплитуды вертикальных движений блоков этой сложной глыбовой структуры достигают 500 м.

В Кайнозое происходили движения блокового характера, причем были полновлены ранее заложенные разрывы главным образом северо-восточного и субширотного направления, и возникли новые дислокационные нарушения.

ИСТОРИЯ ГЕОЛОГИЧЕСКОГО РАЗВИТИЯ

В раннекаменноугольное время территория района являлась, по-видимому, частью крупного геосинклинального прогиба, в пред-

делах которого накапливались территио-кремнистые образования.

В результате парижской складчатости эти образования были смыты в крутые складки преимущественно северо-восточного простирания.

История тектонического развития района в среднем и верхнем карбоне, перми и триасе не ясна, так как в районе отложения этого возраста отсутствуют.

В течение юрского времени в районе происходило накопление мощной толщи терригенных образований. Формирование юрского структурного яруса связано с проявлением раннемеловой (послеваланжинской) фазы складчатости, в результате которой территория района испытала поднятие и окончательно освободилась от моря.

В период формирования верхнемеловых вулканогенных образований район представлял собой полуцилиндрическое сооружение, реагирующее на тектонические напряжения разрывными нарушениями и склоновыми перемещениями по ним. В конце позднемелового времени в районе проявилась интрузионная деятельность, приведшая к формированию массивов гранитоидов. Так же как и вулканиты, они контролируются разломами северо-восточного простирания и, по-видимому, имели вместе с эфузивами единий математический источник.

В каменноугольное время происходило дальнейшее поднятие областей, причем на отдельных участках вдоль зон глубоких разломов про-

исходили изменения базальтоидов (в эоцене и миоцене).

ГЕОМОРФОЛОГИЯ

Современный рельеф района образовался на фоне грабово-сводовых тектонических движений в процессе эрозии, денудации и аккумуляции. В зависимости от амплитуды вертикальных перемещений блоков и их литологического состава в горной части территории выделяются три генетических типа рельефа: денудационно-эрзационный, эрозионно-денудационный и денудационный. Речные долины представляют аккумулятивный тип рельефа.

Денудационно-эрзационный рельеф

Денудационно-эрзационный тип рельефа характеризуется абсолютными высотами 400–1567 м и занимает около 2/3 площади листа. Он подразделяется на среднегорный резко расщепленный, низкогорный резко расщепленный и низкогорный слабо расщепленный рельеф.

Среднегорный рельеф (абсолютные высоты 700–1569 м; относительные

превышения 400–800 м) наблюдается в центральных частях горных

массивов Яуха и Готчикит, Омельдинских и Горбыльских гор, Балдинских горъев и Омельского хребта. Этот рельеф сформирован на вулканитах и гранитоидах позднего мела, терригенных отложений

и их отроги здесь представлены узкими склонистыми гребнями с островообразными вершинами; склоны круты, склонисты, изрезаны боковыми растяжками. На гранитоидах формы рельефа более стянуты, водоразделы шире, вершины сонок ковесоу碌ные или скруглены, эрозионное расчленение слабее. Продольный профиль водораздельных

линий зубчатый. Много гольцов вершин. Склоны выпуклые, на них части незакрепленные каменные осьмы и останцы выветривания. Полосы встречаются и на водораздельных поверхностях. На ссадочных породах данный тип рельефа отличается более плавными склонами сопок, меньшей изрезанностью склонов, больший залесенность. Поперечный профиль речных долин V-образный; продольный профиль не установлен. Из террас отмечается пойма, в долинах более крупных водотоков появляется и высокая пойма. Для мелких боковых притоков характерны висячие долины.

Низкогорный рельеф (абсолютные высоты 400–700 м, относительные превышения 150–400 м) отмечается узкой полосой площадь среднегорья, а также наблюдается на юго-западном окончании Омельдинских гор, в межгоречьях Голебая – Бичи, Бол. и Мал.Хуаки, Омельдин – Амтунь. Этот рельеф развит на осадочных породах при вулканитах позднего мела. Его характеризует узкие (20–50 м) водоразделы, представляющие собой цепь острорезких, конусовидных, реже куполовидных вершин и довольно глубоких (100–150 м) седловин. Склоны выпуклые, с каменными осьмами, как закрепленными, так и незакрепленными. Речные долины обычно гладко врезанные, U-образные, реже нидиообразные в поперечном профиле. В устьях ручьев и распадков отмечается конус выноса.

Низкогорный спадо-расчлененный рельеф (абсолютные высоты 200–600 м, относительные превышения 140–300 м) распространен на большей части площади бассейнов рек Эвур, Алис, Им, правых притоков р.Амтунь и на левобережье последней. Встречается он на всех разлитых в районе горных породах, исключая основную часть выходов гранитоидов. При этом рельефе водораздельные гряды имеют разные направления, сплошные поверхности и волнистую водораздельную линию. Вершины

соков округлые и куполовидные, в пределах развития вулканических кайнозоя — нередко столообразные, седловины широкие. Слоны слабо расчленены, крутизна их обычно не превышает 25° . Каменные осыпи очень редки, и они закреплены растительностью. Поперечный профиль рек яйкообразный, продольный очень пологий. Боковая эрозия преобладает над глубинной. Встречаются почти повсеместно I надпойменная терраса (до 5 м) и остатки II надпойменной террасы (до 10 м). Уступы I террасы выражены четко, тыловые щвы террас смыклированы.

Эрозионно-денудационный рельеф

К эрозионно-денудационному типу рельефа относятся холмы с т о — у в а л и с т ы и р е л ь ө ф (абсолютные высоты 150—300 м, относительные превышения 80—140 м) наблюдающиеся в основном в бассейнах рек Эвур (на юго-западе района), Им, Бол. и Мал.Хунки, Димитин и Омельдин, обычно окаймлены аккумулятивные равнины в виде полосы шириной до 5 км. Этот рельеф, сформированный на осадочных породах юры, вулканических позднего мела и реже кайнозоя, представлен низкими отрогами гор и отдельными возвышенностями в междуречьях. Составляет они из скругленых соков и холмов пологие, заросшие, каменные осыпи отсутствуют. Долины рек широкие (до 2 км), заболоченные, яйкообразные, рече блюдцеобразные. В руслах рек аккумуляция преобладает над эрозией. Уступы террас слабо выражены, сами террасы соединяются со склонами возвышенностей и увалов в большинстве случаев плавно, без резкого перегиба в рельфе, иногда сливаются с поверхностью предгорных шлейфов.

Продолжениями невысоких горных отрогов являются останцы погружения (долины рек Амтунь, Эвур, Омельдин, Агдис, Мал.Хунки, Бичик), представляющие собой отдельные холмы высотой до 100 м, поднимавшиеся над аккумулятивной равниной. Они сложены мезо-кайнозойскими образованиями.

Денудационный тип рельефа

Денудационный тип рельефа (абсолютные высоты 80—350 м, относительные превышения 20—100 м) формируется у подножия горных хребтов и их крупных отрогов. Ведущая роль в их образовании принадлежит процессам склоновой денудации. Молодые денудационные

поверхности — это пологие ($0-6^{\circ}$) узкие выровненные площадки вдоль бортов речных долин, наклоненные в сторону водотоков. Формирование их продолжается и в настоящее время. Рыхкие отложения на указанных поверхностях представлены делювиальными фациями. Реликты древних денудационных поверхностей в виде более или менее горизонтальных площадок шириной до 250 м встречаются в пределах развития среднегорья, рече низкогорье, на уровнях 430, 500, 800, 1000, 1300 м.

А к к у м у л я т и в н ы й р е л ь ө ф приурочен к долинам крупных рек района и представляет собой равнину, образованную поверхностью рыхких аллювиальных отложений четвертичного возраста. Эта равнина слабо наклонена к руслам рек и на большей своей части заболочена или занята несложным лиственничным лесом. В долинах рек Амтуни и Эвур многочисленны участки старых русел и озера-старицы. В долинах почти всех крупных рек района наблюдаются крупные и овальные в плане многолетние бугры пучиня, высотой до 1,5 м и диаметром до 5 м. Абсолютная высота приамтунской аккумулятивной равнины равна 45—55 м, для равнины других реках она колеблется от 100 до 400 м при относительном превышении над руслом рек до 140 м.

ИСТОРИЯ РАЗВИТИЯ РЕЛЬЕФА

Район вступил в фазу континентального развития в конце раннего мела и с тех пор является областью воздымания и непрерывной денудации. В эоцене, а возможно, и раньше начали формироваться крупные тектонические владины, такие, как Эвронская, Чукчагиринская, и предопределелись места горных сооружений. Эти явления закончились излиянием базальтов кузнецкой свиты. После длительного периода пепеленизации в среднем миоцене в результате интенсивных движений отдельных блоков земной коры по разломам происходит расчленение древних поверхностей выравнивания, образуются горные сооружения и межгорные владины. Интенсивное воздымание района завершилось излиянием базальтов кизинской свиты. В это время была заложена речная сеть, в основном сохранившаяся до настоящего времени. Последующий усиленный разрыв и снос рыхлого материала в крупные впадины за пределами района характеризует плиоценовое время.

Четвертичный период отличается дальнейшим воздыманием горных сооружений и погружением впадин, чередующимися с временем:

тектонического затишья, которым соответствуют в рельфе три эрозионных уровня. Сглаженные водоразделы и вершины слабо расчлененного низкогорья и холмисто-увалистого рельефа являются, по-видимому, реликтами раннечетвертичного пeneпlена (первого эрозионного уровня). К следам этого уровня относится аллювий, встречающийся в междуречьях Эвур - Тонней и Эвур - Им на абсолютных высотах около 300-400 м при относительных превышениях над долиной крупных рек до 200 м. Второй эрозионный уровень соответствует террасам высотой над урезом воды рек в 25-60 м, сложенным среднечетвертичными отложениями. Третий эрозионный уровень находитесь поверхность I надпойменной террасы. Наблюдается усиленная эрозия в пределах центральных частей горных хребтов района спидетствует о продолжающемся поднятии данных участков в современную эпоху.

ПОЛЕЗНЫЕ ИСКОПАЕМЫЕ

Месторождений полезных ископаемых на территории листа в настоящее время не известно. На 1 октября 1966 г. в районе из металлических полезных ископаемых зарегистрированы проявления ртути, олова, вольфрама, молибдена, золота, серебра, никеля, свинца, меди, висмута, мышьяка, сурьмы, бериллия, лития, редких земель, циркония, железа, марганца. Все перечисленные проявления полезных ископаемых, кроме железа, марганца и отчасти редких земель, генетически связаны с позднемеловым матматизомом.

Неметаллические полезные ископаемые представлены проявлениями алюминия, коруна и поделочными камнями. В районе имеются также строительные материалы.

ГОРИЧИЕ ИСКОПАЕМЫЕ

Н е ф т ь

При описании разрезов Ульбинской и Силинской свит в долине р. Амгуй и на левобережье р. Бол.Хуны было отобрано 65 образцов алевролитов и песчаников на южном северо-битуминолитический анализ. Для указанных пород характерны весьма низкие содержания органического вещества (от следов до 0,002%), присущего в виде углефицированного растительного материала и рассеянного битума. Распределение его по свитам одинаково. Битуминозное вещество окислено и по всем данным анализа не нефтяного происхожде-

ния, являясь синтетическим породе. Легкие водородные компоненты отсутствуют или содержатся в количестве не более 0,0001%. Битум по типу маслянистый.

Общая пористость исследованных пород в среднем колеблется в пределах 1-6%, редко достигает 9%. Пористость насыщения в среднем равна 0,1-4,0% и не превышает 5,5%. Породы в испытуемых образцах оказались непроницаемыми. Приведенные данные свидетельствуют о малой перспективности района на нефть, даже без учета интенсивно проявленных метаморфизма и дислокации горных пород.

МЕТАЛЛИЧЕСКИЕ ИСКОПАЕМЫЕ

Ч е р н ы е м е т а л л ы

Железо, марганец

Бедные руды в виде линз и выклинивающихся пластов, мощностью в среднем 0,7 м (и не более 3 м), представлены охледи-ненными и омарганизованными галечниками и песками, залегают в т е р р а с а х р . А м г у н ь (9, 10, 13, 14, 32) ^X. Песок или песчаний заполнитель галечников скрементированы гидроокислом железа и марганца. Оруденение в рудных телах неравномерное. Встречаются редкие полосчатые линзообразные скопления гидроокислов железа и марганца. Химический анализ штуров наиболее богатых руд показал содержание железа в количестве 0,9-2,3%, марганца - 0,25-1,58%. Практического значения описанные руды не имеют.

На левобережье р.Бичи в зонеthropления в глине с обломками кремнистых пород содержится свыше 3% марганца, по данным спектрального анализа (81). Повышенная концентрация марганца здесь связана с выветриванием кремнистых пород, заключенных в хурбинской свите. Практического значения это проявление не имеет. В незначительном количестве марганец в районе присутствует во всех спектропробах из донных осадков и делювия.

Ц в о т н и е м е т а л л ы

Медь

Спектральным анализом медь обнаружена в донных осадках и делювии. Из трех выделенных ореолов рассеяния с концентрацией ^X/ в скобках указаны номера рудопроявлений и ореолов рассеяния полезных компонентов на карте полезных ископаемых.

меди от 0,003 до 0,05 (60, 68, 77) одни приурочены к горному мас-
сиву Гобчихит (68), другой находится в ср -
х о з ъ е р. Дягда (60). Здесь развиты вулканиты амут-
ской свиты, участками гидротермально измененные или ороговико-
ванные. В эфузивах на горе Гобчихит содержание меди достигает
0,02%. Медь связана с сульфидами, в которых отмечается пирит,
очень редко (в одном шлифе) - халькопирит. Третий ореол рассея-
ния меди (состоит из свинца и цинка) (77) охватывает с е ж -
д у р е ч ь е А л д и с - Л е з . Б и ч и в их верховых, где
развиты осадочные ярские породы. Наряду с медью в спектропробах
присутствует свинец, цинк, иногда олово или ртуть. Отдельные
редкие спектропроды из делевии и аллювиев, содержащие медь в ко-
личестве 0,003-0,005, отмечаются в Междуречье Янтыкан-Мал.Хунки,
на участке горы Янка и в других местах. На горе Богочукан в шту-
фах из обломков жильного кварца и гранитов присутствуют тысяч-
ные и сотые доли процента меди.

Проявления меди в районе практического значения не имеют.

Свинец

Проявления свинца установлены шлиховым, спектрометалломет-
рическим и штучным опробованием. В аллювии галенит встречается
весьма редко. На левобережье р.Им установлен ореол рассеяния га-
ленита (53) с содержанием до 16 зерен на шлих. В пределах ореола
развиты гидротермально измененные андезиты амутской свиты. Олии
шлих с б. зернами галенита промыт в верховье р.Мал.Энур. В дон-
ных осадках и в делювии свинец (содержание от 0,001 до 0,008%,
редко до 0,04%) образует пять ореолов рассеяния (16, 20, 43, 68,
77). Три ореола рассеяния свинца образует совместно с цинком,
меди, оловом, мышьяком и молибденом. Площади
лолов стоянки как осадочными, так и магматическими породами.
Среди них в окрестностях горы Гобчихит (68) и в Междуречье Алдис -
Лев.Бичи (77). Концентрации цинка в делевии и аллювиев в преде-
лах ореолов одинаковы. Три ореола (20, 68, 77) цинк образует
совместно со свинцом, оловом, мышьяком и молибденом. Площади
ореолов сложены как осадочными, так и магматическими породами.
Повышение концентрации цинка относится к полям развития вулка-
низов амутской свиты. В штуфах из ороговикованных андезитов с
горы Гобчихит, согласно спектральному анализу, содержится до
0,03% цинка, а в отдельных бороздовых пробах из измененных ан-
дезитов в Междуречье Им - Бол.Хунки - до 0,08%. На вершине горы
Богочукан в одном штуфе из обломков жильного кварца обнаружено
15 зерен сфалерита. Практическая ценность проявления цинка в
районе неясна.

Цинк

Данный элемент в районе установлен при спектрометалломет-
рическом опробовании в донных осадках и делевии, при штучном и
бороздовом опробовании в свалах и коренных породах. Выявлено
делать ореолов рассеяния с содержанием цинка от 0,003 до 0,04%
(12, 20, 28, 34, 37, 39, 46, 68, 77). Делевий опробовался толь-
ко в окрестностях горы Гобчихит (68) и в Междуречье Алдис -
Лев.Бичи (77). Концентрации цинка в делевии и аллювиев в преде-
лах ореолов одинаковы. Три ореола (20, 68, 77) цинк образует
совместно со свинцом, оловом, мышьяком и молибденом. Площади
ореолов сложены как осадочными, так и магматическими породами.
Повышение концентрации цинка относится к полям развития вулка-
низов амутской свиты. В штуфах из ороговикованных андезитов с
горы Гобчихит, согласно спектральному анализу, содержится до
0,03% цинка, а в отдельных бороздовых пробах из измененных ан-
дезитов в Междуречье Им - Бол.Хунки - до 0,08%. На вершине горы
Богочукан в одном штуфе из обломков жильного кварца обнаружено
15 зерен сфалерита. Практическая ценность проявления цинка в
районе неясна.

^{x/} Под единичными зернами понимается содержание полезного компонента в шлиховой или штучной пробе в количестве от 1 до 10

Мышьяк

Присутствие мышьяка установлено спектральным анализом в донных осадках, делювии и штучных пробах. Проявления его приурочены к кварцевым жилам в гранитоидах, зонам окварцевания, дробления и ороговикования в осадочных породах, гидротермально измененным вулканитам амутской свиты. Мышьяк образует четыре ореола рассеяния, в пределах которых он содержится в количестве 0,06–0,24 (2, 6, 20, 27, 55). В пределах ореолов опробованы в основном донные осадки. В штуфах из жильного кварца, реже грейзенов (3, 4, 44, 45) присутствует мышьяк от 0,1 до 1,0%, из роговиков (по песчанику) – 0,5% (41). В гидротермально измененных штуфах в Междуречье Им – Бол.Хунки мышьяк обнаружен в количестве 0,04–0,1%. Здесь он сопутствует арсенопириту и скородите. Проявления мышьяка в районе практического значения не имеют.

Атманий

С целью оценки перспектив района на бокситоносность в бассейне р.Амгунь (исключая крайний запад плодородия листа) по разрезам юрских осадочных пород отобрано 78 штуфных проб. Химическим анализом установлено, что силикатный модуль (отношение глиноzemа к кремнезему) этих пород колеблется от 0,15 до 0,26. Это свидетельствует о том, что упомянутая часть района не перспективна на бокситы.

Благородные металлы

Золото

По I–3 зерна золота встречено в 17 шлихах, промытых из аллювиев р.Амгунь и ее левого притока р.Амусякан, левых притоков рек Димитин, Кокольни, Янткан, Горелая и Лев.Бачи, правых притоков рек Бол.Хунки и Им. Одна золотинка обнаружена в пробе из отвала канавы в Междуречье Янткан – Мал.Хунки (31). Зерна золота слабо окатаны, пластинчатые, редко дендритовидные, размером не более 0,3 мм. Спектральным анализом золота в количестве 0,01–0,05 г/т обнаружено в свалах жильного кварца на горе Богочукан, в Междуречье Ниж.Горбыльяк – Верх.Балда, в бассейне р.Кокольни и на левобережье р.Бол.Хунки, в ороговиканных и брекчированных

песчаниках в верховых рек Доломе, Бол.Омельян и Ниж.Балда, в гидротермально измененных вулканитах амутской свиты в Междуречье Янткан – Мал.Хунки, на правобережье рек Им и Алдис и в верховье р.Горькая. В свалах халицелоновидного кварца на левобережье р.Такинка спектральный анализ установлен золото в количестве 0,2 г/т (8), а в дробленых окварцованных и лимонитизированных песчаниках на левобережье р.Алдис в количестве 0,01–0,1 г/т (80). Проявления золота в районе практической ценности не имеет. Однако наличие в районе гидротермально измененных вулканитов верхнего мела является положительным признаком для поисков золота.

Серебро

Проявления серебра в районе установлены в основном с помощью спектрометаллометрического опробования делювия и донных осадков. Выделяются два ореола рассеяния с содержанием серебра 0,0001–0,0003% (2, 78). Отдельные спектропробы с низким содержанием серебра разбросаны по всей площади листа. В некоторых штуфных пробах из свалов жильного кварца, окварцованных и сортингованных андезитов, окварцованных алевролитов и роговиков существует серебро в количестве до 0,03% (3, 4, 5, 18, 19, 29, 42, 44, 45, 51, 55, 58, 59). В окрестностях горы Янка (78) серебро связано с ороговиканными юрскими осадочными породами, а на горе Богочукан (2, 3, 4) – с процессами ороговикования, окварцевания и грейзенизации тех же пород. Застуживает внимания проявление серебра только на горе Богочукан, где в значительном масштабе проявлялись постмагматические процессы. Здесь сочетаются перспективные проявления олова, вольфрама и серебра.

Редкие металлы

Олово

Проявления олова в районе обнаружены при шлиховом опробовании аллювии, спектрометаллометрическим опробованием донных осадков и делювия и с помощью штуфного опробования. Выделяются четыре ореола рассеяния кассiterита (1, 62, 64, 79) и три ореола рассеяния олова (2, 20, 67), из которых один (2) частично перекрывает ореол рассеяния кассiterита (1).

Наиболее крупным (около 25 км²) в районе является ореол рассеяния кассiterита (совместно с шеелитом) в бассейне р.Бого-

чукан и на участке однотипной горы (I). На площади ореола разбросаны осадочные породы юры, прорванные небольшим интрузивом аляскитовых гранитов. В районе упомянутой горы осадочные породы повсеместно орогенитованы, подвергены окварцеванию, грейзенизации, гидротермальному изменению, пиритизации. Обилие свали кильного кварца, мощность жил которого достигает нескольких метров. В контуре ореола содержания кассiterита колеблются от единичных зерен до $5,2 \text{ г/м}^3$, а шеелита — до 3 г/м^3 . Наибольшая концентрация кассiterита и шеелита установлена на западном и северо-западном склонах горы Богочукан, в аллювиальных ручьях, составляющих верховье речки, текущей на север и находящейся западнее горы Богочукан. Здесь на участке в 6 км^2 в делювии кассiterит присутствует в количестве от единичных зерен до 40 г/м^3 , шеелит — от единичных зерен до 32 г/м^3 , вольфрамит — от единичных зерен до 28 зерен на шлих. В пределах 1 км^2 от ореола рассеянны (2) плодаль $3,7 \text{ км}^2$, с содержанием олова в донных осадках в количестве 0,0005–0,01%, в делювии — 0,001–0,005%, редко до 0,01%. Кроме того, в донных осадках и делювии установлены молибден, серебро, в делювии — вольфрам, в донных осадках — мышьяк и бериллий. В штуфных пробах из севала жильного кварца, грейзенов, серидитизированных и окварцованных песчаников содержание олова, согласно спектральному анализу, колеблется от 0,001 до 1–3%. Наиболее обогашены оловом жильный кварц и грейзены. Кроме олова, по данным спектрального анализа, в штуфных пробах присутствуют (в %): вольфрам от 0,007 до 0,007 до 1–3; мышьяк 0,2–1; свинец 0,002–0,1; молибден 0,0003–0,03; серебро 0,001–0,03; вольфрамит 0,003–0,03; висмут 0,002–0,3; сурьма 0,05; бериллий 0,0001; лимонит, хром и никель — меньше 0,01, а также золото 0,01–0,03 г/т. В рудной минерализации в ореоле рассеянния горы Богочукан участвуют кварц, мусковит, серидит, кассiterит, шеелит, вольфрамит, пирит, арсенопирит, халькопирит, сфалерит (15 зерен в одном штуфе кварца), галенит (в одном штуфе кварца — 2,5 г/т), молибденит (2–50 зерен в 3 штуках), антимонит (3–10 зерен в двух штуках), топаз (очень редко), рутил, лимонит, скородит, тунстит.

Рудообразование Богочукан (3) расположено на западном склоне одноименной горы. В глыбовой осадке орогенитованных песчаников, реже алевролитов, отмечается свала жильного кварца и грейзена. В одной из глыб грейзена, в прожилках кварца мощностью до 2 см, наблюдалась видимый кассiterит, количество которого достигало 30–40% объема жильного материала. В одной из про-

толочек грейзена содержание кассiterита достигает 136 кг/т, шеелита — 50 кг/т, а химический анализ соответствующего штуфа показал 12,2% олова. Кроме того, спектральным анализом в этой же пробе обнаружен вольфрам (1–3%), медь (0,005%), свинец (0,002%), серебро (0,001%), висмут (0,002%), мышьяк (0,2%), бериллий (0,0005%), китербит (0,0001%), молибден (0,0003%). Кассiterит присутствует в виде мельчайшей вкрапленности и скоплений мелких кристаллов (до 1 см в поперечнике). Он представлен идиоморфными призматическими кристаллами размером от 0,2 до 3–4 мм, зонально окрашенными в буровато-коричневый цвет. В гидротермально измененных пиритизированных песчаниках участка спектральным анализом фиксируется от 0,02 до 0,2% олова, 0,07% вольфрама, от сотых до десятических долей процента лимита, хрома, никеля, меди, свинца, молибдена, висмута, бериллия. В штуфах обнаружены шеелит (до 60 г/т), пирит, арсенопирит, скородит, лимонит.

На вершине горы Богочукан в штуфах из обломков жильного кварца химическим анализом в одном случае установлено 1,36% олова (4). В других штуфах кварца спектральным анализом выявлено олово (0,002–3%), вольфрам (0,007–2%), молибден (0,0005–0,03%), висмут (0,3%), сурьма (0,05%), мышьяк (0,5–1,0%), свинец (0,1%) медь (0,003–0,03%), серебро (0,001–0,03%), бериллий (0,0001–0,002%) и золото (0,03 г/т). В протолоках из кварца обнаружен кассiterит (до 16 кг/т), шеелит (до 1 кг/т), молибденит (до 50 зерен), сфалерит (в одном штуфе 15 зерен), незначительные количества пирита, арсенопирита, халькопирита, вольфрамита, скородита, лимонита и проблематичный топаз.

Для окончательного выявления перспектив оловоносности участка горы Богочукан требуется постановка детальных поисков.

Два ореола рассеяння кассiterита (плодаль соответственно $3 \text{ и } 16 \text{ км}^2$) находятся в верховье р. Дяглы и в 3–6 км к востоку от горы Сетко в поле развития гранитоидов Омельянского массива (62, 64). Здесь шлиховые пробы содержат кассiterит в количестве от единичных зерен до 22 зерен на пробу. Источником кассiterита являются прожилки и маломощные кварцевые жилы в гранитоидах.

В верховье правого притока р. Дягли, в 1,8 км к западу от высоты 1115 м, в поле гранитоидов Омельянского массива в штуфной пробе измененных андезитов (с прожилками железной слюды и мощностью до 3 мм) обнаружено 100 зерен кассiterита (63). Однако спектральный анализ не показал олова в этой пробе. В делювии, а также в аллювиальных ближайших ручьях кассiterит не выявлен.

Четвертый ореол рассеяния кассiterита (площадь 5 км²) расположена на левобережье р.Горелая (79). Площадь ореола сложена осадочными породами юры. В восьми шликах присутствуют единичные угловатые зерна красно-бурого касситерита. Источником касситерита является, по-видимому, мелкие кварцевые прожилки. Виду никакого содержания касситерита в аллювиевом ореоле не заслуживает детального изучения.

Значительный по площади (около 85 км²) ореол рассеяния олова (67) расположен в окрестностях горы Бобрикит, в пределах поля вулканитов амутской свиты, местами ороговикованных и гидротермально измененных. В пределах ореола в южных осадках содержится 0,001-0,005% олова. Такое же количество олова присутствует и в частично опробованном делимии. В штучных пробах олова содержится меньше 0,001%. Данный ореол частично перекрывает ореол рассеяния свинца, цинка и меди (68). Незначительные количества олова в пробах не позволяют рассматривать данный ореол как первоочередной объект для детальных поисков олова; вместе с тем наличие здесь малых интрузийных тел, даек, контактово-гидротермально измененных вулканитов не позволяет исключить эту опасность из числа перспективных на олово.

Другой ореол рассеяния олова (площадь около 25 км²) расположен в верховье р.Ниж.Горбляк (20). Здесь в южных осадках присутствует 0,0003-0,01% олова. Кроме олова, установлены синец, цинк, мышьяк, молибден. Наличие олова в южных осадках здесь объясняется разрывом гранитоморфов Омельдинского массива, где оно присутствует либо в рассеянном виде в гранитах, либо в касситех мелких жил кварца. Практической ценности этот ореол не представляет.

На левобережье р.Бол.Кунки (50) в штуцерной пробе гидротермально измененных вулканитов амутской свиты спектральным анализом обнаружены (в %): олово 0,1; цинк 0,02; синец 0,003; ртуть 0,0006.

Из всех промышленных оловоза в районе практический интерес представляют ореолы рассеяния касситерита и олова и рудопроводления его, обнаруженные на горе Богочукан и в бассейне одноименной реки. Благоприятными условиями для концентрации оловянного оруденения здесь являются интрузии зеленитовых гранитов, широко проявленные процессы окварцевания, серпентинизации, грейзенизации, прилизации и др. В связи с этим в северо-западной части района рекомендуется постановка съемки и поисков масштаба 1:50 000, на участке горы Богочукан - поисков масштаба 1:10 000.

Вольфрам

В районе известны три ореола рассеяния шеелита (1, 21, 40).

Одни из них (1) охватывает бассейн р.Богочукан и участок одиночной горы, где в аллювии шеелит встречается вместе с касситеритом (см. выше). Площадь ореола сложена осадочными породами юры, прорванными и ороговикованными на горе Богочукан вулканитами. На участке указанной горы развиты кварцевые жилья, охварцованные, ороговикованные, серпентинизированные гнейзы, измывание и притилированные породы. Содержания шеелита в шликах колеблются от единичных зерен до 1,5 г/м³. Наибольшие концентрации шеелита отмечены на северо-западном и западном склонах горы Богочукан. Здесь в делювии содержание шеелита достигает 32 г/м³ и вольфрамита - от единичных зерен до 28 зерен, в делювиях суплинке присутствует 0,0005-0,2% вольфрама, образующего, при содержании 0,003-0,2%, ореол рассеяния (2) совместно с оловом, молибденом, серебром, бериллием и мышьяком.

В штучных пробах из южных жильных кварца, грейзена и измененных осадочных пород участка вольфрам присутствует, по данным спектрального анализа, в количестве 0,007-0,5%, редко до 1-3%. В контуре ореола (2) находится рудопроявление вольфрама Богочуки (3). Здесь в штучной пробе из южных жильев на спектральном анализе фиксируется 1-3% вольфрама, а согласно химическому анализу - 12,2% олова. В протоложке из этой пробы содержание шеелита равно 50 кг/т, касситерита - 136 кг/т. Во вскрытиях здесь канавой гидротермально измененных пиритизированых песчаниках спектральным анализом выявлено 0,07% вольфрама и 0,02% олова, а в кварцевой жиле концентрация 0,5 м - 0,2% вольфрама.

В другом проявлении на горе Богочукан (4) в обломках жильевого кварца фиксируется от 0,007 до 2% вольфрама, 1,36% олова (по химическому анализу), 0,0005-0,003% молибдена, 0,3% висмута и др. (см."Олово").

Вольфрамосодержащими минералами являются шеелит, вольфрамат и тунгсит. Последние два минерала обнаружены в шлифе и эпилите. Проявления эпилита на горе Богочукан заслуживают изучения по пути к детализации участка на олово.

Два других ореола рассеяния шеелита (21, 40) расположены в верховьях притоков р.Амтуль, размытых осадочными породами при и вулканиты верхнего мела, прорванные и контактово метаморфизованные подножемоловыми гранитоморфами Омельдинского массива.

Площади их соответственно равны 55 и 100 км². Здесь, в щликах из аллювия, шеелит присутствует в количестве от единичных зерен до 100 зерен, в нескольких пробах - от 200 мг/м³ до 2 г/м³. Шеелит белый или желтоватый, зерна его слабо окатаны, размером не более 1,3 мм. Источником шеелита являются маломощные жилы кварца, а также, по-видимому, гранитиды, в которых шеелит присутствует как аксессорный минерал. Практической ценности данные ореолы не представляют.

Шликовые пробы с единичными зернами шеелита встречаются почти повсеместно в районе. Отмечаются также отдельные разрозненные штуцевые пробы, взятые в основном из свалок юльного кварца, с содержанием шеелита до 50-100 зерен, редко до 30 г/т, например, в верховье р.Долое (59). В штуфре из гранодiorита на крайнем северо-западе района присутствует 75 зерен шеелита (7). Проявления вольфрама в Омельинских и Горбыльских горах и рудопроницание № 7 практического интереса не представляет.

Молибден

Молибденит обнаружен в аллювии водотоков системы рек Нил, Горыняк и верх.Балла по 1-2 зерна в 6 шликовых пробах. Здесь же, охватываю верховья рек Верх.и Ниж.Горыняк, выявлен ореол рассеяния (20), где в донных осадках молибден присутствует в количестве 0,0002-0,0005%, редко 0,003%. Кроме того, в пробах присутствуют сланец, цинк, олово и мышьяк. Другой ореол рассеяния молибдена (38) расположен в бассейнах верхних течений рек Дягда, Долойе и Бол.Омельян, где в донных осадках молибден содержится в количестве 0,0002-0,0005%, редко до 0,002%. Первый ореол расположен в поле гранитидов, второй - в поле развития осадочных пород ири и вулканитов верхнего мела. В пределах сре-дов штуфы из ландшафтно измененных вулканитов содержат 0,0001-0,001%, а штуфы из юльного кварца - 0,001-0,003% молибдена. В штуфной пробе из обломков юльного кварца в верховье р.Мал.Хунки (44) присутствует 0,01% молибдена.

На участке горы Богочукан выявлен ореол рассеяния молибдена (2) в делювии и аллювии с содержанием металла 0,0003-0,003%, на пробу (согласно спектральному анализу). Кроме того, здесь обнаружены в спектропробах олово, вольфрам, серебро, бериллий, мышьяк (см.разделы об этих элементах). В штуфах из свалок жиль-

ного кварца и реже окварцованных песчаников в пределах этого ореола спектральный анализ показал содержание молибдена 0,0003-0,0005%, реже больше; например, на вершине горы Богочукан, где в свалках юльного кварца с мусковитом содержится 0,0005-0,03% молибдена из штуфной пробы (рукотворение № 4), а в двух протолоках здесь обнаружено 5 и 50 зерен молибдена. Кроме молибдена, в штуфах на горе Богочукан присутствуют олово, вольфрам, сурьма, медь, никель, свинец. На участке ручной миграции в Междуречье Янтикан - Мал.Хунки (31) отмечается несколько стагнаторов из делювия с содержанием 0,0002-0,0003% молибдена.

Район мало перспективен на молибден. Заслуживают оценки лишь проявления этого металла на горе Богочукан.

Бериллий

Выделяется ореол рассеяния бериллия (2) на участке горы Богочукан, где в донных осадках бериллий содержится 0,0003-0,0005%. В штуфных пробах юльного кварца, гравийнов и оротовикованных осадочных пород бериллий присутствует в количестве 0,0001-0,002%, (например, проявления № 3, 4). Кроме того, отдельные пробы из донных осадков с содержанием бериллия меньше 0,001% обнаружены в аллювии двух верхних притоков р.Богочукан, в верховых рек Дягда и Верх.Горыняк. В делювии на правобережье р.Янтикан у самой восточной границы плодородия листа обнаружен бериллий в количестве 0,001-0,005% (30). Участок сложен окварцованными и окременными песчаниками силинской синклини. Проявления бериллия в районе практического значения не имеют.

Литий

Спектральным анализом литий выявлен в штуфных пробах из обломков кварца и дробленых андезитов на левобережье среднего течения р.Дягда (35), на горе Богочукан и в верховье правоего притока р.Лимитин (63) в количестве 0,02%. Практического значения эти проявления не имеют ввиду низкого содержания лития и незначительного объема минерализации.

Цирконий, редкие земли

Циркон установлен почти во всех шлиховых пробах из аллювия в количестве от единичных до 100 зерен, редко до 700 $\text{мг}/\text{м}^3$. Повышенные концентрации циркона присутствуют в количестве 0,001-0,05%, не образуя ореолов рассеяния. В штуфах южного кварца количество его достигает 0,005% (по данным спектрального анализа). Орбит выявлен в шликах в количестве 1-100 зерен в аллювии рек Альанс, Бол. и Мал. Омельянин в их русловых, в бассейне рек Дагла и Димитри. Орбит выносится при размыве вулканитов и гранитоидов позднего мела, в которых он является аксессорным минералом. Проявления циркона и редких земель в районе практической ценности не имеют.

Ртуть

Из полезных ископаемых в районе ртуть известна наиболее распространение. Генетически она связана в основном с гидротермальными изменениями породами амурской ставы (пропатки, породы типа вторичных кварцитов), тяготящими к зонам диагенетических нарушений северо-восточного простирания, а также, в гораздо меньших масштабах, с зонами окварцевания и повышенной трещиноватостью в некизмененных породах как продукте деятельности газо-термогенераторов. Возраст ртутной минерализации, по-видимому, позднемеловой. Нередкими, содержанием ртуть, являются главным образом киновари и в меньшей мере метакиноварь. Последние очень редок (единичные зерна в 30 шликах) и встречаются только в Омельянинских и Горбыльских гор и Балдинских горных. Киноварь в аллювии присутствует в виде плохо окатанных зерен неправильной формы, размером от пылевидных частиц до листовых долей миллиметра, редко до 1,5 мм. В шликах из деловии и земли и искусственных шликах, а также в некоторых шликах из аллювия киноварь встречается в сростках с кварцем.

На территории листа выявлено лишь редко веодинаковых по площади ореолов рассеяния киновари в аллювии¹. Четыре из более широких

¹ Разрозненные шлиховые пробы с единичными зернами киновари отмечаются также на всей остальной части территории листа, исключая побережье р. Амурь.

среди (33, 36, 54, 56), площадью каждый 11-24 км^2 , расположены в бассейнах рек Димитри, Коколни и руч. Граного, где они приурочены к площади развития осадочных пород юра и вулканитов амурской ставы. Здесь в шликах содержится от единичных до 15 зерен киновари. Эти ореолы рассеяния киновари зауживают детализации.

Пятый ореол рассеяния киновари (II) расположен в бассейнах рек Амурская, Верх. и Ниж. Горыняк. Площадь его около 125 км^2 . Здесь в шлиховых пробах киноварь присутствует в количестве от единичных до 69 зерен, а в нескольких штуфных пробах, взятых из измененных вулканитов, содержится ртуть в количестве 0,00002-0,00006%. Данный шлиховой ореол перекрывается в бассейне р. Верх. Горыняк ореолом рассеяния ртути (I) с содержанием ее в донных осадках в пределах 0,0005-0,007%, а в деловии - в пределах 0,00006-0,0006%.

Наибольшие концентрации киновари в аллювии, ртути в деловии и штуфах из обломков гидротермально измененных андезитов (0,00006%) приходится на участок левобережья р. Верх. Горбнык в 6 км к юго-востоку от высоты 422, а киновари и ртуть в аллювии - на правобережье против указанной высоты. Площади описанных ореолов (II, I¹) заслуживают изучения путем поисковых работ в масштабе 1:50 000.

Шестой, самый обширный (1100 км^2) шлиховой ореол рассеяния киновари (22), включающий также ряд ореолов рассеяния ртути (15, 16, 31, 49, 66, 69, 70, 72, 73, 74, 75, 76), охватывает юго-восточную, крайнюю восточную и северо-восточную части территории листа. Основная часть площади ореола занята вулканитами верхнего мела. Ореол уходит за пределы района к востоку на площадь листа N-54-ХХI (Калибеков и др., 1960ф) и к югу, на площадь листа N-53-У1 (Осипова, 1963ф). Содержание киновари в аллювии в пределах ореола колеблется от одного зерна до 0,6 $\text{г}/\text{м}^3$. Распределение киновари на площади неравномерное, причем участки повышенной концентрации киновари полностью совпадают с ореолами рассеяния ртути в деловии или в донных ссадках, показанными на карте (31, 49, 66, 69, 70, 73, 74, 75). В пределах этих же ореолов отмечается повышенное содержание ртути в штуфных и бороздовых пробах и выявлены три рудопроявления в коренных породах (48, 51, 52).

Один из вышеуказанных ореолов рассеяния ртути (площадь 17 км^2) расположен в междуречье Янган - Мал.Хунки (31). На этом участке проведены детальные поиски на площади 10 км^2 . Первоначально здесь была обнаружена киноварь в аллювии в количестве от единичных до 148 зерен на шлиховую пробу. При этом в дон-

нек осадках ртуть на этом участке присутствует лишь в нескольких пробах в количестве 0,0005–0,007%. В пробах делювия содержание ртути колеблется от 0,0006 до 0,007%. Кроме ртути, в отдельных пробах определены свинец (0,003%), цинк (0,001%), молибден (0,0002–0,0003%), медь (0,003–0,005%) и сурьма (0,002–0,003%). В шлихах из делювия здесь содержится киноварь в количестве от единичных зерен до 10 зерен, реже до 363 зерен, а в несколькоих пробах от 400 г/м³ до 16 г/м³.

В искусственных шлихах киноварь установлена в количестве от единичных зерен до 1,04 г/т. Спектральным анализом в штуфных пробах выявлено ртуть 0,0006–0,0003%, в сортировочных пробах – 0,0006–0,0006%, а в одном – 0,002%. Те и другие пробы представляют гидротермально измененные вулканитами амутской смыты, а некоторые штуфы – окварцованными пастениками. Макроскопически рабкам мелкая выщелаченность киновари установлена в единичных зернах только в двух канавах. В одном из них, прокоптих из отвалов канав, обнаружена одна золотинка, а в одной штуфной пробе спектральным анализом установлено 0,03 г/т золота. В несколькоих штуфных пробах, согласно спектральному анализу, присутствует сурьма в количестве 0,002%, в одном случае – 0,3% (47). Данный ореол заслуживает дальнейшего изучения.

В пределах вышеописанного ореола (51) расположено рудопроявление ртути (48), где в сортировочной пробе из пропитанного андезита, согласно спектральному анализу, содержится 0,002% ртути, а в шлихе из отходов пробы – 1,04% г/т киновари. Северо-восточнее (в 0,6 км) в шлихе из делювия обнаружена киноварь в количестве 16 г/м³.

Второй ореол рассеяния ртути (площадь 130 км²) расположен между реками Им и Мал.Хунки (49). В пределах этого ореола ртуть присутствует в лонных осадках в количестве 0,0001–0,0003%, в делювии – 0,0001–0,0004%, редко 0,002–0,01% в штуфных пробах из гидротермально измененных вулканитов амутской смыты – 0,0003–0,0006%, реже до 0,004% (по результатам спектрального анализа). В шлихах в пределах ореола киноварь содержится в количестве от единичных зерен до 0,4 г/м³. Наибольшие концентрации ртути и киновари зафиксированы в междуручье Им – Бол.Хунки, где проведены поиски на площади 2,5 км². В делювии здесь киноварь содержится в количестве от единичных зерен до 0,2 г/м³. Максимальное содержание ртути установлено в измененных светло-серых тuffах андезитов (рудопроявление № 52), где, согласно спектральному анализу, в штуфных пробах присутствует 0,003–0,01% ртути, а в одной борозде

довом пробе – 0,005%. В одном шлихе из заполяризованного листа выявлено более 100 мелких осколков молочно-белого кварца в тонкой выделенности киновари. В бороздовых пробах из соседних канав установлено сурьма в количестве 0,01–0,03%.

На правобережье р.Бол.Хунки в штуфе гидротермально измененных вулканитов содержание ртути – 0,004%, сурьмы – 0,01% (51). В спектропробах из делювия здесь присутствует 0,0001–0,003% ртути. В протолочках из штуфов обнаружено до 10 зерен киновари.

Далее река Энур и им располагается несколько ореолов рассеянной ртути и повышенной концентрации киновари площадью от 6 до 18 км², обусловленных размытым гидротермально измененных вулканитов амутской смыты (66, 69, 73–75). В пределах двух ореолов, в верховье р.Энур (66) и на левобережье р.Альыс (69), велись поисковые работы. Перечисленные ореолы характеризуются содержанием ртути в лонных осадках в количестве 0,00003–0,0004%, в делювии – 0,0003–0,0006%, редко до 0,003%, в штуфах из гидротермально измененных или окварцованных в слабой степени вулканитов до 0,0005%, редко до 0,009% (например, в верховье р.Тонней). В шлихах из аллювия на участках описываемых ореолов киноварь выявлена в количестве от единичных зерен до 50 зерен, реже до 100 зерен и весовой количестве (до 0,6 г/м³), в шлихах из делювия – от единичных зерен до 3 г/м³. В верховье р.Тонней в шлихах из делювия содержится от единичных зерен до 1 г/м³ киновари и в редких шлихах от единичных зерен до 3 г/м³ метасиликатарита; в штуфах из обломков эфузивов здесь установлены спектральным анализом тысячи доли ртути, сурьмы, цинка и меди (Сущенцов, 1963; Сущенцов и др., 1964). Этот ореол (73) является северным окончанием ореола рассеяния ртути, установленного выше, за пределами района. В 0,8 км от описанного листа к шту, в истоке р.Тонней, расположено Хартичанско-р.Альыс. Площадь каждого из них равна около 1,5 км². Расположены они на участках развития гидротермально измененных вулканитов амутской смыты. В пределах ореолов в спектропробах из делювия присутствует 0,00003–0,0004% и в штуфных пробах из обломков измененных пород – 0,00003–0,0003% ртути.

участки ореолов рассеяния ртути киасе рек Эзур и Ии (66, 69, 70, 73, 74, 75) перспективны для поисков месторождений ртути в зону благоприятной геологической обстановки и значительных концентраций ртути и киновари в яловии и дельвии и в коренных породах.

На плоскости ореолов рассеяния ртути западнее р.Ниж.Балда (15, 26) развиты вулканической свиты, участками гидротермально измененные; восточнее упомянутой реки - осадочные породы ири. Площади ореолов равны 50 км^2 (15) и 45 км^2 (26). В пределах ореолов в пробах из линий осадков ртуть содержится в количестве $0,0005$ - $0,0007\%$, ртуть до $0,001$ - $0,003\%$. Деловий опробованся только на правобережье р.Ниж.Горьблак и в междууречье Верх.Балда - Ниж.Балда (в пределах ореола № 15), где в нем присутствует $0,0003$ - $0,0002\%$ ртути, а в редких пробах также олово и молибден (по $0,0003$ - $0,0005\%$), свинец, цинк, медь (тысячные доли процента), фосфор ($0,03$ - $0,05\%$) и очень редко серебро ($0,00003\%$). В трех штуфах из обломков гидротермально измененных андезитов в междууречье Верх.И Ниж.Балда установлено ртуть $0,0006$ - $0,0002\%$, сурьмы - $0,002$ - $0,005\%$ (24). Эти проявления ртути, находящиеся в благоприятных геологических условиях, также заслуживают дальнейшего изучения.

Ртутные проявления территории рассматриваемого района находятся в региональную зону ртутности, протягивающуюся в северо-восточном направлении между реками Горин и Амгунь. В пределах этой зоны ртутная минерализация связана с позднемеловой гидротермальной деятельностью, наиболее интенсивно проявленной вдоль некоторых глубинных разломов. В этих отдельных зонах осадочные породы оквартированы, серцинизованы, каолинизированы, а вулканические породы среднего состава амгунской свиты пропилитизированы или превращены в породы типа вторичных кварцитов. Геологическая обстановка на площади вышеуказанной региональной зоны и известные проявления ртути в ее пределах являются положительными признаками для поисков месторождений ртути также на плоскости рассматриваемого листа.

Сурьма

Сурьма присутствует в гидротермально измененных вулканических свитах на участках ртутной минерализации как в дельвии, реле в альвии (31) в количестве $0,002$ - $0,003\%$ на спектропробу, так и в штуфных (24, 31) и бороздовых (51, 52) пробах - в первых

в количестве $0,002$ - $0,005\%$, во вторых - в количестве $0,01$ - $0,03\%$. Остальные проявления данного элемента связаны с жилами кварца (4, 8, 18, 19, 25, 29, 45) при содержании сурьмы от $0,002$ до $0,3\%$, с оквартированными алевролитами в бассейне р.Янтаря (47)- $0,3\%$ сурьмы и в истоке руч.Гризный (55) - $0,01\%$ сурьмы, гидротермально измененными андезитами на правобережье р.Бол.Хунга (51) и в междууречье Верх.И Ниж.Балда (24) - $0,001$ - $0,005\%$ сурьмы, с ортоизоклинными и эпилотизированными андезитами на водоразделе р.Лягва и правого притока р.Эзур (61) - $0,01$ сурьмы и с роговниками в верховье р.Бол.Омельдин (41) - $0,002$ - $0,005\%$ сурьмы. На левобережье р.Гандыка (8) в обломках халцедоновидного кварца выданы редкие вкрапления антимонита размером до 2 мм (здесь выявлено $0,3\%$ сурьмы, $0,2$ г/т золота и др.), а в протоолюфе из оквартированных алевролитов в бассейне р.Лягтав (47) обнаружены антимонит в количестве $1,55$ кг/т. Проявления сурьмы заслуживают изучения полностью с легальными работами на ртуть.

Висмут

В нескольких штуфах в верховье р.Доломе встречаен базовомусковый в количестве единичных зерен. Ореол рассеяния висмута в линиях осадков установлен в истоках правого притока р.Лянкан на крайнем северо-востоке района (23). В спектропробах здесь присутствует $0,005\%$ висмута. Данный ореол приурочен к ороговикованным осадочным породам ири. В междууречье Лягва-Доломе в штуфных пробах из свалов дробильных оквартированных андезитов (58) и роговников из обнажения (57) спектральным анализом выявлено соответственно $0,02$ и $0,002\%$ висмута. В верховье правого притока р.Лянкан в пробе из свалов измененных андезитов с касситеритом присутствует, согласно спектральному анализу, $0,002\%$ висмута (63). На горе Богослужен в штуфных пробах из свалов хильного кварца спектральным анализом обнаружено висмута от $0,001$ до $0,03\%$ (например, пробы № 3, 4, 5). Практическая ценность проявления висмута в районе неясна.

НЕМЕТАЛЛИЧЕСКИЕ ИСКОПАЕМЫЕ ХИМИЧЕСКОЕ СЫРЬЕ

Алюминий

В верховье р.Горькая среди гидротермально измененных вулканических свит, занимающих площадь около 9 км^2 , установлены обломки амгунитовых кварцитов (71). Породы светло-серые, брек-

циститные, кавернозные, обожженные. Составляет она из кварца - 50%, альунита - 35%, серцинита - 5%, гидроокислов железа - 10%, единичных зерен диаспора и редких скоплений рутила. Перспективы данного проявления на альунит и диаспор не ясны.

Прочие неметаллические ископаемые

Kopyto

В небольшом количестве циклических проб из аллювия присутствуют единичные зерна корунда, а в левом притоке р.Им, восточнее ореола рассеяния гаменита (53), отобраны иллювиальные зерна корунда в количестве от единичных до 78 зерен. Наличие корунда в аллювии связано с размытием вулканической амтской свиты, очень редко — осадочных пород. Район мало перспективен на корунд в связи с тем, что эфузивы среднего и основного состава не благоприятны для образования корундовых пород.

СТРОИТЕЛЬНЫЕ МАТЕРИАЛЫ

Специальное изучение строительных материалов на территории листа не производилось. Однако полученные при геологической съемке данные позволяют считать район богатым строительными материалами. Так, в качестве строительных камней могут быть использованы вулканические (андезиты, базальты) и инструментные (граниты, гранодиориты) породы, запасы которых практически неограничены. Базальты, после соответствующих испытаний, вероятно могут найти применение как петрографическое сырье.

Аллювиальные и делювиальные глины, пески, гравий и галечники образуют значительные скопления в долинах наиболее крупных рек — Амуре, Тигре, Енисее и др.

аллювиальные и лессивальные глины, пески, гравий и галечники образуют значительные скопления в долинах наиболее крупных рек — Амгуна, Бичи, Эвуря, Има. Глины и суглинки в составе аллювиальных и лессивальных отложений образуют маломощные (до 10—30 см) прослои и языки. Протодность их как сырья для кирпичного производства не выяснена. Пески полимиктовые, плохо сортированные, как правило, с галькой и примесью глины.

ПОДЕЛОЧНЫЕ КАМНИ

В альбоме «Лотоков бассейнов рек Амур, Зеур, Им, Бол. и Мал.Хунхы, размноженных вулканической сметью, пародия встреча-

ОБЩАЯ ОЦЕНКА ПЕРСПЕКТИВ РАЙОНА И РЕКОМЕНДАЦИИ

Территория листа опрошена всем комплексом современных методов, применяемых при геологической съемке масштаба 1:200 000. На всей площади проведены шлихтовое и спектрометаллургическое опробование аллювиальных отложений, штурфное и бороздовое опробование и горные работы с целью вскрытия минерализованных зон. В пределах участков детальных полосок производилось спектрометрическое опробование целиковальных и элювиальных образований.

Наиболее перспективами район обладает в отношении олова и ртути.

В качестве первоочередного объекта для постановки деталь-
ных (в масштабе 1:10 000) поисков на олово рекомендуется участ-
ок горы Богочукан, где рудная минерализация установлена на пло-
щади 6 км². Содержания олова в штуфных пробах достигают здесь
12,2%, а вольфрама 1-3%. Генетически оловянная минерализация
связана с амасцитовыми гранитами. Совместное присутствие касси-
терита, мелита, вольфрамита, сфалерита, галенита, арсенопирита,
халькопирита, пирита, низкое содержание мышьяка и наличие свинца
и висмута в касситерите позволяет рудопроявления горы Богочукан
отнести к промежуточному типу между кварцево-касситеритовым и
сулфидно-касситеритовым. Участок горы Богочукан находится в
пределах отрицательной аномалии силы тяжести и в этом отношении
сходен с Июн-Чанским оловянно-серебряным районом.

Помимо детальных работ в районе горы Богочукан, на побере-
жье Амтуни рекомендуется также постановка геологической съемки
в поисковом масштабе 1:50 000, результаты которых могут существен-
но расширить перспективы района на олово.

Произведения ртути пространственно тесно связаны с гидротермально измененными вулканитами верхнего мела, представленными породами типа вторичных кварцитов и пропилитов. Многочисленные проявления ртути, обусловленные местным позднемеловым вулканизмом и постмагматической деятельностью, стоят, таким образом, описываемый район в число перспективных на ртуть. При этом рассматриваемая территория находится на северо-восточном фланге региональной зоны ртутоносности, протягивающейся между реками Горин и Амтуна.

Для поисков месторождений ртути наиболее перспективна площадь, охватывающая бассейны рек Амдис, Им, Бол. и Мал.Хунки. На этой площади рекомендуется постановка геологической съемки и поисков масштаба 1:50 000.

Перспективы района маложенным выше не исчерпываются. При проведении поисковых работ на олово и ртуть пристальное внимание заслуживают слабо изученные поля вторичных кварцитов и пропилитов. В связи с вторичными кварцитами могут быть обнаружены месторождения альвита и коруна. Пропилиты, судя по установленной в них минерализации, перспективны на золото, свинец, медь.

ПОДЗЕМНЫЕ ВОДЫ

По условиям залегания подземные воды территории листа подразделяются на трещинные и трещинно-жильные воды коренных пород, пластово-поровые воды аллювиальных и элювиально-делювиальных отложений.

Трещинные воды накапливаются в зоне трещиноватости коренных пород. Мощность этой зоны, судя по результатам колонкового бурения в истоках р.Харитикан (на соседней площади у южной границы территории листа), достигает 40-60 м (Осипова, 1963). В зависимости от литолого-стратиграфического состава водовмещающих пород, выделяются трещинные воды осадочных отложений яры, вулканитов верхнего мела и кайнозоя и гранитолов позднего мела. Источником питания трещинных вод является инфильтрация метеорных вод. Воды эти бесзапорные.

Юрские осадочные отложения обладают незначительной водонасыщенностью. Выходы этих вод на дневную поверхность немногочисленны, как правило, располагаются в истоках ручьев, реке на пологих склонах речных долин. Дебит источников равен 0,01-0,3 л/сек. Для значительного количества источников характерно отсутствие

стока воды. Малая водообильность осадочных пород в некоторых местах (горный массив Янка, Балдинские горы и Омадский хребет) объясняется сильной расщепленностью рельфа, вследствие чего большая часть поверхностных вод быстро стекает в реки, не успев проникнуть вглубь; в других местах трещинные воды, по-видимому, не выходят на поверхность, плавая воды аллювиальных отложений. В засушливое время ручьи, текущие по осадочным породам, сильно меняют или пересыхают. Трещинные воды осадочных пород по составу гидрокарбонатные натриево-кальциевые или натриево-магниево-кальциевые. Величина сухого остатка в них равна 50-95 мг/л, жесткость общей колеблется от 0,13 до 0,79 мг ЭКВ/л, рН - от 5,8 до 6,9. Описываемые воды прозрачные, бесцветные, редко желтоватые, без запаха и вкуса.

Вулканиты верхнего мела и кайнозоя отличаются большой водообильностью по сравнению с осадочными породами. Заключенные в них трещинные воды, выходя на дневную поверхность, образуют мочаймы и родники, приуроченные к небольшим горизонтальным плоскостям на склонах долин, редко к истокам ручьев. Дебит этих источников колеблется от 0,1 до 1,0 л/сек. Ручьи и реки, питаемые данными водами, достаточно полноудилены даже в засушливое время года. Воды эти прозрачные, иногда слегка опалесцирующие, без запаха и вкуса. По составу они обычно гидрокарбонатные магниево-кальциевые, натриево-магниево-кальциевые или кальциевые, реже - сульфатно-гидрокарбонатные магниево-кальциевые с незначительным количеством иона НН⁺. Сухой остаток в этих водах равен обычно 76-112 мг/л, редко меньше; жесткость общей данных вод составляет от 0,62-1,26 мг ЭКВ/л, редко меньше; рН от 6,2 до 7,2.

Наиболее водособимыми породами района являются граниты-дики, характеризующиеся многочисленными трещинами отдельности, частично приоткрытими в зоне выветривания. Дебит источников здесь не превышает 1,0-1,5 л/с, причем он обладает значительным постоянством в течение летнего периода. Воды прозрачные, бесцветные, редко желтоватые, без запаха и вкуса, гидрокарбонатные магниево-кальциевые, кальциевые, редко натриево-кальциевые; также редко присутствуют анионы хлора (до 6% мг.ЭКВ.) и сульфата (до 1%, мг.ЭКВ.). Сухой остаток в этих водах равен 33,2-80,5 мг/л, жесткость общая 0,23-0,84 мг ЭКВ/л, рН от 6,0 до 7,2.

Трещинно-жильные воды в долине дренируют в полостях крупных разрывных нарушений. Два источника этих вод встречаются в зоне разлома, расположенного в междуручье Бол. и Мал.Хунки, причем один из них приурочен к андезитам амтунской

сниты, другой - к породам ульбинской синты. Дебит их достигает величины 6 л/сек. Вода прозрачна, без запаха и вкуса, холода.

Воды данных источников характеризуются соответственно (по имеющимся данным: первый источник в андезитах, второй - в осадочных породах) следующими данными: формула Курлова -

М 0,06 НСО 391
Ca70 Mg15 Na14

М 0,05 НСО 392
Mg49 Ca37

сухой остаток - 63 и 54 мг/л; жесткость общей - 0,81 и 0,68 мг·экв/л, рН - 6,4 и 6,2.

П л а с т о в о - п о р о з и в о д о м . В залывальных отложениях долин крупных рек, благодаря преобладающему галечно-гравийно-песчаному их составу, при налаживании прослоев глины и суглинка образуется несколько водоносных горизонтов, причем некоторые из них могут включать слабо напорные воды. Питание данных вод происходит за счет инфильтрации метеорных вод, потока

вод залывально-делювиальных отложений и частично за счет грунтовых вод. Рассредоточенные выходы вод этого типа наблюдаются на всем протяжении р.Амгуни вдоль ее берегов в виде несущих источников с дебитом 0,1-0,7 л/сек. На делювиальных равнинах выходы этих вод образуют заболоченные участки и мочажины вдоль начала поверхности водотокам. Глубина затопления подземных вод здесь колеблется от 0,5 до 2,0 м. Описываемые воды в основном прозрачные, иногда желтоватые, без запаха и вкуса, по химическому составу гидрокарбонатные щелочно-магниевые-кальциевые. Сухой остаток их равен 56 мг/л, жесткость общей - 0,38 мг·экв/л, рН - 7,4.

В береговых обнажениях террас долины р.Амгуни в местах, где водонапорный горизонт подстилается глиной, развиваются оползни, но масштабы их невелики. В долинах рек Амгуни, Омегильин, Димитрий А.Д. в связи с выходами вод алювиальных отложений в зимнее время образуются многолетние бугры пучения (тердолакколиты).

Подземные воды, накапливающиеся в залывально-делювиальных отложениях, наблюдаются в виде исчезающих источников с дебитом 0,08-0,1 л/сек у подножия склонов речных долин, в пониженных частях подоразделов и на пологих склонах. Питание этих вод осуществляется за счет атмосферных осадков, в меньшей степени за счет потока грунтовых вод в период сезональной мерзлоты. Большинство этих источников действует только в дождливые периоды. Уровень яенных вод может подняться до 15 см от дневной поверхности.

По составу описываемые воды гидрокарбонатные магниево-кальциевые или кальциевые, реже сульфатно-гидрокарбонатные щелочно-магниево-кальциевые. Сухой остаток в них колеблется от 32,4 до 150,8 мг/л, жесткость общей равна 0,14-0,54 мг·экв/л. В одном случае - 2,32 мг·экв/л, рН равно 5,2-7,6. Повышенная сульфатность и большой сухой остаток связаны с циркуляцией вод в ледниковых, образованном за счет разрушения пород типа вторичных кварцитов (источник в междуручье Ии - Боя-Хунум).

Верховодка распространена в пределах аккумулятивных районов, где встречается островная многолетняя мерзлота. Последняя, ввиду своего слабого развития, существенного влияния на формирование и циркуляцию других типов вод не оказывает. Воды верховодки пресные, буроватого цвета, с примесью органических веществ, с запахом гнили и неприятным привкусом.

Все типы вод района, исключая верховодку, пригодны для бытовых и технических нужд.

Л И Т Е Р А Т У Р А

О П У Б Л И К О В А Н Н А Я

Б а ц е в и ч Л. Материалы для изучения Амурского края в геологическом и горнопромышленном отношении. СПб., 1894.

Б о г о л ю б с к и й И. Очерк Амурского края, южной части Приморской области и острова Сахалина в геологическом и торапромышленном отношении. СПб., 1876.

Б е л ь т е н е в Е.Б., К а п р а л о в а К.П., С а в -

ч е н к о А.И., У с т и н о в а Л.С. Геологическая карта СССР масштаба 1:200 000, серия Иман-Амурская, лист М-54-1. Объяснительная записка. Гостехиздат, 1959.

К а з а н с к и й П.А. Геологический очерк западной части Охотского края в Нижнем Примурье. Тр.ВГО, вып.159, 1932.

О с и п о в а Н.К. Геологическая карта СССР масштаба 1:200 000, серия Нижне-Амурская, лист М-53-У1, ГУГК МГ СССР, 1966.

П л а х о т и н к В.Г. Стратиграфия верхнемеловых и каменноугольных вулканических образований Северо-Восточного Сихотэ-Алиня. "Сов.геология", № 3, 1962.

П л а х о т и н к В.Г. Новые данные о строении и возрасте эфузивов кимзинской синты в Северо-Восточном Сихотэ-Алине. "Сов.геология", № 4, 1962.

Савченко А.И. Мезозой Северного Сихотэ-Алиня и Нижнего Приамурья. "Сов. геология", № 12, 1961.
Храповин А.И. маршрутные исследования в бассейне р. Амтуни. В кн.: "Геологические исследования в золотоносных областях Сибири", вып. IX, слб, 1908.

Фондохр/

Батурина Н.П. Геологический очерк средней и нижней части бассейна р. Амтуни.

Боронина А.Н., Удаль Н.К., Мирошнико в П.Л., Чекалов В.Н. Отчет о работах Амтунской партии за 1962-1963 гг. 1964.

Буфф Л.С., Хромова В.Э. Стратиграфия и литология юрских отложений бассейна среднего и нижнего течения р. Амтуни. 1965.

Бельтев Е.Б., Савченко А.И., Устинова Л.С. Отчет о ревизионно-увязочных работах на листе №-54-1 за 1956-1957 гг. 1958.

Вашман И.И., Кудриков В.Т. Отчет о работах Дальневосточной аэромагнитной партии № 8/55 в Хабаровском крае и на с-ве Сахалине. 1956.

Головко Б.А., Колчин А.Д. Отчет о результатах работ Энгурской геофизической партии за 1959 год. 1960.

Головко Б.А., Колчин А.Д. Отчет о результате работ Хунгарийской геофизической партии за 1960 г. 1961.

Харитоничев Г.И., Потапов Ю.И., Дембянов В.М., Вихлянцев В.В., Кретинин Ю.П., Корош Г.С., Агеев В.М. Новые данные о геологическом строении бассейна р. Тугур, Тугурского полуострова и Ульбан-

Амтунского междуречья. 1966.

Золоторева Л.И. Карта аномального магнитного поля СССР масштаба 1:200 000, листы №-53-ХII, ХIII, ХIV, ХVII, ХIX, ХХI, ХХII, ХХIII. Объяснительная записка. 1963.

Иванов Н.В. Отчет о результатах работ Аэромагнитной партии № 7 за 1953-1954 гг. 1955.

Иванов Н.В., Коломей И.С. Отчет о результатах работ Аэромагнитной партии № 7 за 1955 г. 1956.

Х/Работы, местонахождение которых не указано, хранятся в геологическом фонде ДВГУ.

Калимбеков Б.А., Рыбакова А.Д., Власов З.Я., Карапулов В.Б., Трушин В.Н., Викуличин В.В., Карапулова В.Л., Разоренова О.Е. Геология, гидрогеология и полезные ископаемые бассейна среднего течения р. Бичи. 1960.

Кирilloв А.Д. Отчет о геологических исследованиях в бассейне среднего течения р. Амтуни. 1947.

Красный Л.И., Кирilloвский Л.Б., Никонов С.Я. Геологические исследования в юго-западной части листа №-54. 1941.

Канино А.И., Солдатов О.Б., Денисов В.Д., Цюра А.И. Геологическое строение и полезные ископаемые Омельянских, Горбянских и Балдинских гор. 1964.

Канино А.И., Тиньков Е.А., Тухас О.И., Цюра А.И., Чесотарев Н.И. Геологическое строение и полезные ископаемые северной части листа №-53-ХХIII. 1965.

Канино А.И., Тухас О.И., Цюра А.И. Геологическое строение и полезные ископаемые северо-западной части площади листа №-53-ХХIII. 1966.

Осипов Н.Г. Геологическая карта СССР масштаба 1:200 000, серия Хингано-Буреинская, лист №-53-ЛУ. Объяснительная записка. 1964.

Осипов Н.К. Геологическая карта СССР масштаба 1:200 000, серия Нижне-Амурская, лист №-53-У. Объяснительная записка. 1963.

Осипов Н.К., Кисляков С.Г., Симончик И.И., Чекалов В.Ф. Геологическое строение и полезные ископаемые северной части территории листа №-53-У. 1966.

Сверасов Н.П. Отчет о геологических исследованиях, произведенных в 1944 г. в бассейне верхнего течения р. Бичи (Нижний Амур). 1945.

Сушенидов В.С. Отчет о поисковых работах на Харпичансском ртутном месторождении в 1962 г. 1963.

Сушенидов В.С., Ромашин Ю.И. Отчет о поисковых работах на ртуть, проведенных в Комсомольском районе Хабаровского края в 1962-1963 гг. 1964.

Тонкин Р.М., Канино А.И., Солдатов О.Б., Денисов И.Д. Геологическое строение и полезные ископаемые юго-восточной части площади листа №-53-ХХIII. 1963.

Фадеев Я.И., Потапов Ю.И., Алешин В.П.,

Вильяминов В.В., Глушенков З.М., Ива-
нов И.А., Москвина Т.М. Геологическое строение и по-
лезные ископаемые бассейнов среднего течения р.Тутур и низовьев
рек Нижней и Омал. Лист №-53-ХХХI. 1964.

Фадеев Я.И., Шурыгина В.А. Козлов М.П.
и др. Геология, полезные воды, полезные ископаемые бассейнов
среднего течения р.Ангус и Тулукского и Улбанско газовых
Охотского моря. Лист №-53-Г. 1965.

Хромова В.Э., Вильяминов В.В. Геологическая
карта СССР масштаба 1:200 000, серия Нанай-Амурская, лист
№-53-ХХХI. Обыкновенный замок. Фонды Второго гидрогеол.

Упр., М., 1966.

Шапочкин И.И., Денисенко С.И., Казачихин -

и др. Отчет о результатах аэромагнитных работ Ангуской пар-
тии за 1958-1960 гг. 1960.

Шурьямова В.А., Козлов А.А., Ходоле-
шин И.А., Озчининский В.Д., Конюхов Е.Д.,
Изаков И.А., Белепчака С.В., Агапимов В.П.,
Мавеский М.В., Михальцов В.А., Масибров -
да Т.В. Новые данные по стратиграфии, тектонике и полезным
ископаемым Амгуль-Усантинского месторечья и южного побережья
Охотского моря. 1966.

СПИСОК МАТЕРИАЛОВ, ИСПОЛЬЗОВАННЫХ ДЛЯ СОСТАВЛЕНИЯ ЛИСТА
№-53-ХХХI КАРТЫ ПОЛЕЗНЫХ ИСКОПАЕМЫХ ЧАСТЫА 1:200 000

№/п	Фамилия и инициалы авторов	Наименование работы	Год изда-ния	Нестохах-ление мате-риала, его соединенное с мес-тами
1	Тонюк Р.М., Кирич А.И., Солдатов О.Б., Денисенко Л.Д.	Геологическое стро-ение и полезные ис-копаемые эпо-го-восточ-ной части плоскости листа №-53-ХХХI	1963	09716
2	Кирич А.И., Солдатов О.Б., Денисенко Л.Д., Циря А.И.	Геологическое стро-ение и полезные ис-копаемые Омельян-ские, Горбуняцкие и Балдинские горы	1964	010370
3	Кирич А.И., Тмыков Е.А., Тугас О.И., Циря А.И., Чеботарев Н.И.	Геологическое стро-ение и полезные ис-копаемые северной части плоскости листа №-53-ХХХI	1965	011002
4	Кирич А.И., Тугас О.И., Циря А.И.	Геологическое стро-ение и полезные ис-копаемые северо-зи-падной части плоскости листа №-53-ХХХI	1966	011701
5	Головко Е.А., Колчина А.Д.	Отчет о результатах работ Кунгаринской геофизической пар-тии за 1960 г.	1961	08928
6	Суленцов В.С.	Отчет о попытках работ на Харпин-каском ртутном ме-сторождении в 1962 г.	1963	010102

Х/ Все материалы хранятся в геологическом фонде ДГУ.

Приложение 2

СИСТОМЫ ПРОВЕДЕНИЯ ПОЛЕЗНЫХ ИСКОПАЕМЫХ, ПОКАЗАННЫХ НА
Листе №-53-ХХХИ карты полезных ископаемых масштаба
1:200 000

Приложение 2				
I	2	3	4	5
7	Суменцов В.С., Романин Ю.И.	Отчет о поисковых ра- ботах на руды, проце- денных в Комсомольском районе в 1962-1963 гг.	1964	010534
СИСТОМЫ ПРОВЕДЕНИЯ ПОЛЕЗНЫХ ИСКОПАЕМЫХ, ПОКАЗАННЫХ НА Листе №-53-XXXII Карты ПОЛЕЗНЫХ ИСКОПАЕМЫХ МАСШТАБА 1:200 000				
8I	IV-4	Индекс кар- те на карте	Название проявления и вид полевого ис- следования	Характеристика проявления
				№ исполь- зованного материала по списку (прил.)
			МЕТАЛИЧЕСКИЕ ИСКОПАЕМЫЕ	
			Ч е р н ы е м е т а л ы	
			Марганец	
			р.Бачи	
			Содержание марганца в штучной пробе из коренных пород более 3%	
			Железомарганцевые руды	
9	I-2			
			р.Амтуль	
			Пласт оруденелого галечника	
	10	I-2	То же	3
	13	I-2	"	3
	14	I-2	"	3
	32	II-I	"	4
			Ц в е т н ы е м е т а л ы	
60	III-2	Модель		
			р.Лагда	
			Спектрометалло- метрический ореол	
59	III-2	Свинец		
			р.Логойе	
			Содержание свинца в штучных пробах из лемминя, 0,03- 0,05%	
			2	4

1	2	3	4	5
45	II-3	р.Мак.Хунка	Содержание сурьмы в штучной пробе из №- левия 0,1-0,3	2
44	II-3	р.Мак.Хунка	Содержание сурьмы в штучных пробах из №- левия 0,05%	2
42	II-3	Водораздел рек Ниж.Горбатик и Мак.Хунка	Содержание сурьмы в штучных пробах из №- левия 0,2%	2
58	III-2	р.Лягда	Содержание сурьмы в штучной пробе из №- левия 0,2%	4
65	III-2	р.Эздр	To же	2
53	II-4	р.Им	To же	2
16	I-3	р.Амтуль	Шинкорый ореол	2
43	II-3	р.Верх.Горбатик	Спектрометаллометри- ческий ореол	3
20	I-3	р.Ниж.Горбатик	To же	2
68	III-3	Горный массив Гобчикин	-"	3
77	IV-3	Междуречье Альмо- лес.Бажи	Горный массив Янка	78
		Цинк	Р е д к и е м е т а л л и	
			Олово	
			Содержание золота в штучных пробах из №- левия 0,01-0,10 г/т	
			Серебро	
			Спектрометаллометри- ческий ореол	
			Р е д к и е м е т а л л и	
			Олово	
			Содержание олова в штучных пробах из №- левия от 0,01-0,20 до 12,2%	
			Содержание олова в штучной пробе из №- левия 1,36%	
			Содержание олова в штучной пробе вулка- низов амутской сывты 0,17, цинка - 0,02%, сурьмы 0,005%, ■ ртуть 0,0005%	

1	2	3	4	5
46	II-3	Верховье р.Мак. Омельян	Спектрометаллометриче- ское определение	3
			Минералы	
			To же	4
			"	3
			Б х а г о р о д и н ы е м е т а л л и	
			Золото	
			Содержание золота в штучных пробах из №- левия 0,01-0,10 г/т	
			Серебро	
			Спектрометаллометриче- ский ореол	
			Р е д к и е м е т а л л и	
			Олово	
			Содержание олова в штучных пробах из №- левия от 0,01-0,20 до 12,2%	
			Содержание олова в штучной пробе из №- левия 1,36%	
			Содержание олова в штучной пробе вулка- низов амутской сывты 0,17, цинка - 0,02%, сурьмы 0,005%, ■ ртуть 0,0005%	

I	2	3	4	5
63	III-2	р.Демитин	В штучной пробе из ледниковой содержиться 100 зерен касситерита	4
I	I-I	р.Богочукан	Шлиховой ореол	4
62	III-2	р.Дагда	To же	4
64	III-2	р.Эвур	" "	2
79	II-4	р.Горелая	" "	1
2	I-I	Участок горы Богочукан	Спектрометаллометрический ореол	4
67	III-3	Горный массив Тобчикент	To же	1
			Больфрам	
7	I-I	р.Гакчинка	В штучной пробе из ледниковой содержиться 75 зерен шеанита	4
40	II-2	Реки Дагда, Джале и Бол.Омелдин	Шлиховой ореол	3,4
21	I-3	Реки Омелдин, Верх.и Ниж. Горбыняк	To же	2,3
		Молиден		
38	II-2 III-2	Реки Дагда, Джале и Бол. Омелдин	Спектрометаллометрический ореол	3,4
30	I-4	р.Янтарек	Бериллий	3
		To же		

I	2	3	4	5
			Литий	
35	II-I	р.Дагда	Содержание лития в штучных пробах из деловины, 0,02%	4
			Ртуть	
48	II-4	Рудопроизывание Янтарек	Содержание ртути в бороздовых пробах 0,0009-0,002%	3
52	II-4	Рудопроявление в Желдурсие	Содержание ртути в штучных пробах из коренных пород 0,003-0,01%, в бороздовых пробах 0,005%	2
		Бол.Хунки - Им		
22	II-4	Северо-восточная, восточная и юго-восточная части территории Аистова	Шлиховой ореол	2
33	II-I	р.Дагда	To же	4
36	II-I	р.Демитин	"	4
54	II-I	Реки Димитин и Кокончи	"	4
		Реки Амуксиян, Верх.и Ниж.Горбичек	"	3,5
17	II-2	р.Верх.Горбыняк	Спектрометаллометрический ореол	3
15	I-3	Межгоречье Ниж. Горбыняк и Ниж. Балда	To же	3
26	I-4	Реки Ниж.Балда и Янтарек	"	3

I	II	III	IV	V	VI	VII	VIII	IX	X	
31	1-2	3	4	5	25	I-4	р.Лих.Балда	Содержание сурьмы в штучной пробе из деревни 0,002-0,003%	3	
49	II-4	Междуречье Им - Мал.Хунки	To же		29	I-4	р.Верх.Балда	To же	3	
65	II-3	р.Энур	"		41	II-2	р.Бол.Омельдин	"	3	
70	II-4	р.Горькая	"		47	II-4	р.Балткан	Содержание сурьмы в штучных пробах из деревни 0,017	3	
72	II-4	р.Тонней	"		51	II-4	р.Бол.Хунки	"	2	
73	II-1	Руч.Гризный	Шлиховой ореол		1,6,7	55	II-1	Руч.Гризный	To же	
56	III-1	р.Энур	Спектрометаллометрический ореол		2	61	III-2	Бодораздел р.Лягда и правого притока р.Энур	"	2
74	IIУ-2	р.Аланс	To же		1	1	1	Гора Богочукан	Василют	
69	III-3	р.Аланс	"		5	I-I	Гора Богочукан	Содержание висмута в штучных пробах из деревни 0,3%	4	
75	IIУ-3	р.Аланс	"		57	III-2	Бодораздел рек Лягда и Локное	Содержание висмута в штучной пробе из деревни 0,002%	3	
76	IIУ-3	Сурьма			23	I-4	р.Литкан	Спектрометаллометрический ореол	3	
8	I-I	р.Гакчишка	Содержание сурьмы в штучной пробе из деревни 0,3%					ХИМИЧЕСКИЕ ИСКОПАЕМЫЕ		
18	I-3	р.Ниж.Горбильяк	Содержание сурьмы в штучных пробах из деревни 0,002-0,2%					Алюнит		
19	I-3	р.Ниж.Горбильяк	To же					Обломки алюнитовых квартитов, содержащих 35% алюнита и единичные зерна диаспора		
24	I-4	Междуречье Верх. и Ниж.Балда	Содержание сурьмы в штучной пробе из деревни 0,002-0,005%		3	71	II-4	р.Горькая		

СОДЕРЖАНИЕ

Стр.

Введение	3
Стратиграфия	7
Изогрузильные образования	36
Тектоника	48
Пеоморфология	54
Полезные ископаемые	58
Подземные воды	78
Литература	81
Приложения	85

В брошюре приведено 95 стр.

Редактор М.А.Трифонова
Технический редактор Е.Н.Павлова
Корректор Л.П.Трензелева

Сдано в печать 22/III 1972 г. Подписано к печати 13/XII 1974 г.
Тираж 150 экз. Формат 60x90/16 Печ.л. 6,0 Заказ 1001с

Центральное специализированное
производственное ходарсчетное предприятие
Всесоюзного геологического фонда